



第一章 线性系统的复频域 分析方法

郭圆月

2022年8月29日





本章主要内容

§1.1 复频域分析

1.1.1 时间域-复频域的变换

1.1.2 系统传递函数和极点、零点

§1.2 系统响应

1.2.1 频率响应

1.2.2 伯德图方法

1.2.3 阶跃响应





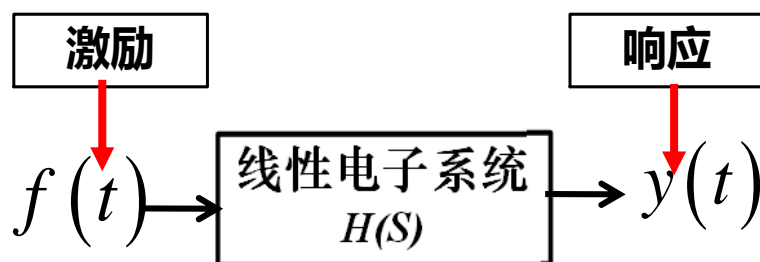
§ 1.1 复频域分析

■ 研究对象：线性电子线路系统

由有源器件和无源器件组成的各种线性、时不变电子电路；

■ 时域分析方法：

➤ 激励与响应；



➤ 经典分析工具：线性常系数微分方程

$$\begin{aligned} & b_n \frac{d^n y(t)}{dt^n} + b_{n-1} \frac{d^{n-1} y(t)}{dt^{n-1}} + \cdots + b_0 y(t) \\ & = a_m \frac{d^m f(t)}{dt^m} + a_{m-1} \frac{d^{m-1} f(t)}{dt^{m-1}} + \cdots + a_0 f(t), a_m, b_n \in \text{常数} \end{aligned}$$





1.1.1 时域分析的不足之处

- 求解 **高阶** 线性常微分方程，相当复杂 **麻烦**；
- **时域方程** 解不能清晰地反映出系统的 **内在特征**。

解决之道：变换域分析



时域 t : \rightarrow 复频域 $S = \sigma + j\omega$

拉氏
变换

$$\overbrace{L\{f(t)\}}^{\text{象函数}} = F(s) = \int_0^{\infty} \underbrace{f(t)}_{\text{原函数}} e^{-st} dt, s \in \underbrace{R_f}_{\text{复频率收敛域}}$$

$f(t) \rightarrow F(S)$: 初始状态为0下的一种 **广义积分变换**；

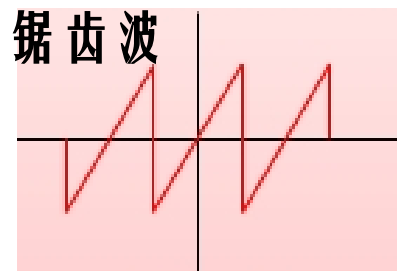
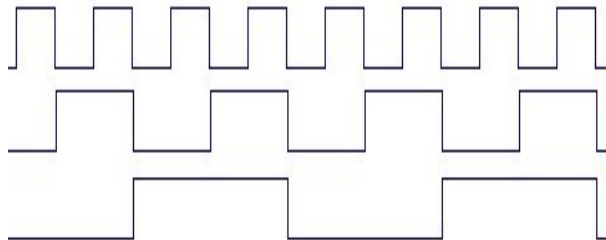
复频域分析: 拉氏变换将时域信号变换到 **新的处理域**。



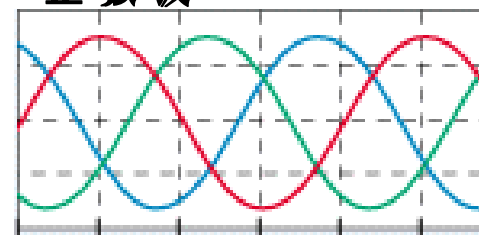


1.1.1 时域与频域

■ **时域** 波形：

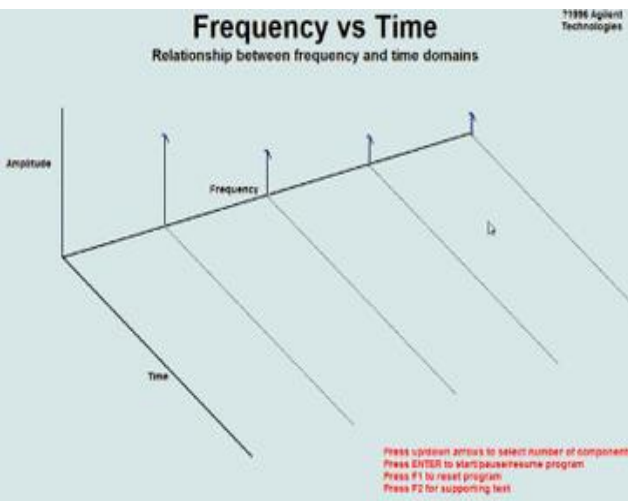


正弦波



➡ 真实性与时间的先后顺序 形象与直观 参数：周期、幅度、上升时间等

■ **频域** 分析：时域任何波形可由正弦波的组合完全且惟一地描述；



- (1) 任何两个频率的正弦波都是正交的-正交基；
- (2) 精确的数学定义。
- (3) 正弦波及其微分值处处存在，没有上下边界

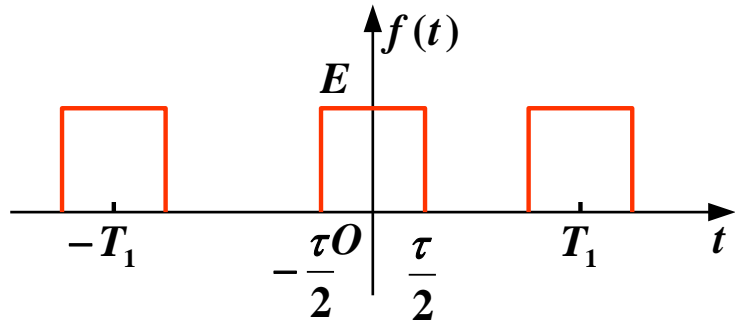
➡ 非真实的数学构造 ➡ 简练、深刻、方便



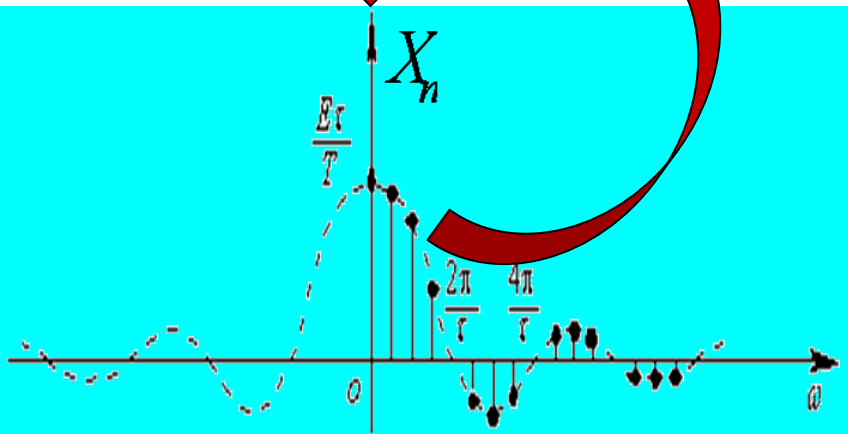


1.1.1 傅氏变换与拉氏变换

1. 周期时域信号



频谱



傅里叶变换:

三角函数形式

$$\begin{aligned} f(t) &= a_0 + a_1 \cos \omega_0 t + a_2 \cos 2\omega_0 t + \dots \\ &\quad + b_1 \sin \omega_0 t + b_2 \sin 2\omega_0 t + \dots \\ &= a_0 + \sum_{n=1}^{\infty} (a_n \cos n\omega_0 t + b_n \sin n\omega_0 t) \end{aligned}$$

欧拉公式

复指数形式

$$F(\omega) = F[f(t)] = \int_{-\infty}^{+\infty} f(t) e^{-j\omega t} dt$$

频域

拉氏变换

复频域

$$L\{f(t)\} = F(s) = \int_0^{\infty} f(t) e^{-st} dt, s \in R_f \quad s = \sigma + j\omega$$

象函数 原函数 复频率 收敛域





1) 常用拉氏变换的基本性质

1. 微分:

$$\frac{dx(t)}{dt} \xleftrightarrow{L} sX(s) \quad \frac{d^k x(t)}{dt^k} \xleftrightarrow{L} s^k X(s) \quad \rightarrow \quad \frac{d}{dt} \xleftrightarrow{L} s$$

2. 积分:

$$\int_{-\infty}^t x(t) dt \xleftrightarrow{L} \frac{X(s)}{s} \quad \rightarrow \quad \int_{-\infty}^t dt \xleftrightarrow{L} \frac{1}{s}$$

3. 时移:

$$x(t - \alpha) \xleftrightarrow{L} X(s) e^{-\alpha s}$$

4. 频移:

$$e^{-\alpha t} x(t) \xleftrightarrow{L} X(s + \alpha)$$

5. 线性性质:

$$\left. \begin{aligned} x_1(t) &\xleftrightarrow{L} X_1(s) \\ x_2(t) &\xleftrightarrow{L} X_2(s) \end{aligned} \right\} \\ \Rightarrow \alpha x_1(t) + \beta x_2(t) \xleftrightarrow{L} \alpha X_1(s) + \beta X_2(s)$$





表1 常用信号的拉普拉斯变换

$f(t)$	$F(s)$
冲激函数 $\delta(t)$	1
阶跃函数 $u(t)$	$\frac{1}{s}$
t	$\frac{1}{s^2}$
指数函数 e^{-at}	$\frac{1}{s+a}$
$1 - e^{-at}$	$\frac{a}{s(s+a)}$

$f(t)$	$F(s)$
te^{-at}	$\frac{1}{(s+a)^2}$
$\sin \omega t$	$\frac{\omega}{s^2 + \omega^2}$
$\cos \omega t$	$\frac{s}{s^2 + \omega^2}$
$e^{-at} \sin \omega t$	$\frac{\omega}{(s+a)^2 + \omega^2}$
$e^{-at} \cos \omega t$	$\frac{s+a}{(s+a)^2 + \omega^2}$
$2 K e^{-\alpha t} \cos(\omega t + \theta)$	$\frac{ K e^{j\theta}}{s+\alpha-j\omega} + \frac{ K e^{-j\theta}}{s+\alpha+j\omega}$



1.1.2 系统传递函数的概念

■ 时域常微分方程

$$b_n \frac{d^n y(t)}{dt^n} + b_{n-1} \frac{d^{n-1} y(t)}{dt^{n-1}} + \cdots + b_0 y(t) = a_m \frac{d^m f(t)}{dt^m} + a_{m-1} \frac{d^{m-1} f(t)}{dt^{m-1}} + \cdots + a_0 f(t)$$

■ 复频域线性方程

拉氏变换

$$(b_n s^n + b_{n-1} s^{n-1} + \cdots + b_0) Y(s) = (a_m s^m + a_{m-1} s^{m-1} + \cdots + a_0) F(s)$$

系统
传递函数

$$H(s) = \frac{Y(s)}{F(s)} = \frac{a_m s^m + a_{m-1} s^{m-1} + \cdots + a_0}{b_n s^n + b_{n-1} s^{n-1} + \cdots + b_0}, a_i, b_j \in \text{实常数}$$

简化

➤ S 的有理分式, $m \leq n$, 电路系统稳定! 若 $m > n \Rightarrow \lim_{s \rightarrow \infty} |H(s)| \rightarrow \infty, s \in R_f$

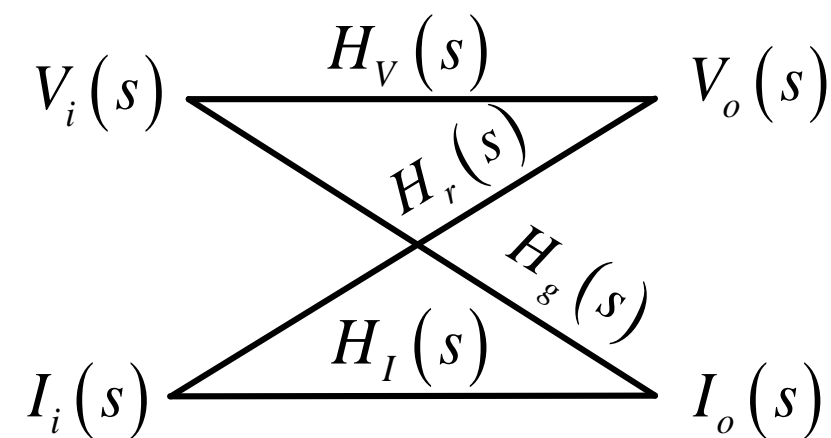
➤ 系统函数 $H(s)$ 只取决于电路结构+器件, 反映系统内在特征物理量;

➤ 电路特性 (频率特性、稳定性等) 通常由系统函数 $H(s)$ 唯一表征;





1) 线电系统的四种传递函数



电压传递函数 $H_V(s) = \frac{V_o(s)}{V_i(s)}$

电流传递函数 $H_I(s) = \frac{I_o(s)}{I_i(s)}$

阻抗传递函数 $H_r(s) = \frac{V_o(s)}{I_i(s)}$

导纳传递函数 $H_g(s) = \frac{I_o(s)}{V_i(s)}$





2) 系统传递函数的零点与极点

■ 系统传递函数标准形式: $H(s) = \frac{a_m s^m + a_{m-1} s^{m-1} \dots + a_0}{b_m s^m + b_{m-1} s^{m-1} \dots + b_0}$

$$\Rightarrow H(s) = K \frac{(s - z_1)(s - z_2) \dots (s - z_m)}{(s - p_1)(s - p_2) \dots (s - p_n)} = K \frac{\prod_{i=1}^m (s - z_i)}{\prod_{j=1}^n (s - p_j)} = K' \frac{\prod_{i=1}^m \left(1 - \frac{s}{z_i}\right)}{\prod_{j=1}^n \left(1 - \frac{s}{p_j}\right)}$$

■ 系统零点: 传递函数分子多项式等于0的根;

$$H(s) = \frac{Y(s)}{F(s)} \Big|_{s=z} = 0 \Rightarrow Y(s) \Big|_{s=z} = 0 \Rightarrow \text{零点 } z_i$$

■ 系统极点: 传递函数分母多项式等于0的特征根;

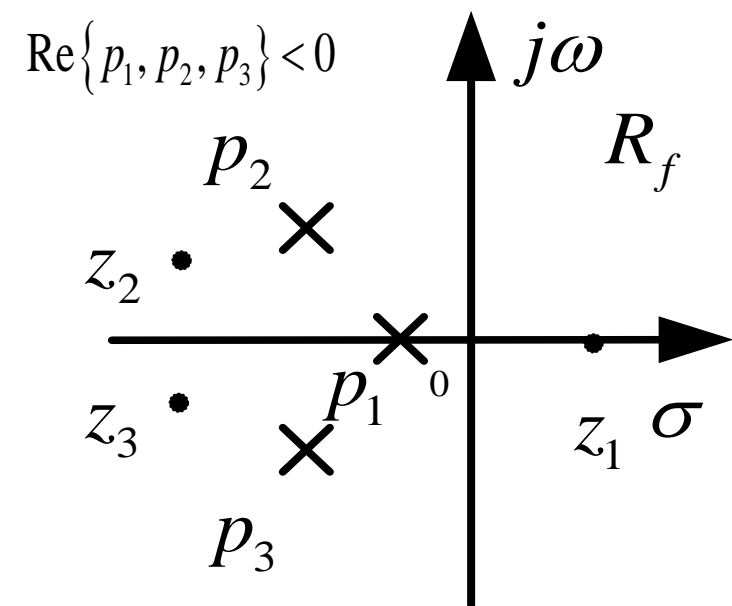
$$H(s) = \frac{Y(s)}{F(s)} \Big|_{s=p} \rightarrow \infty \Rightarrow F(s) \Big|_{s=p} = 0 \Rightarrow \text{极点 } p_j$$





3) 零极点分布图

■ 定义：零点用•、极点用x在复平面上绘制出来。



三零点三极点系统

➤ 所有零、极点为实数或共轭复数对。

$$z_2 = z_3^* \quad p_2 = p_3^*$$

➤ 稳定系统，极点 p_j 分布在虚轴左侧s平面内，而零点没此约束？

$$\left. \begin{aligned} \frac{1}{s - p_j} &\rightarrow e^{p_j t} = e^{(\sigma + j\omega)t} \\ \lim_{t \rightarrow \infty} h(t) &= 0 \end{aligned} \right\} \Rightarrow \sigma < 0$$

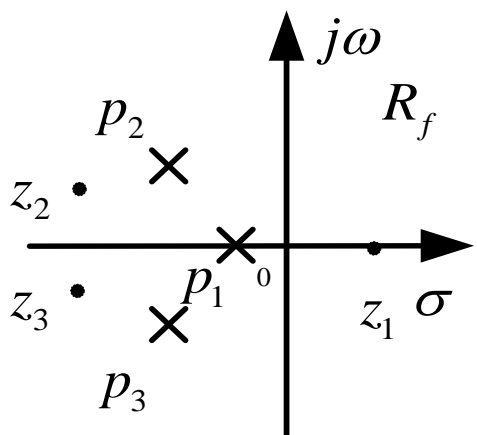
系统稳定性判断：

- ① p_j 位于S面虚轴左侧 \Rightarrow 系统稳定；
- ② p_j 位于S面虚轴右侧 \Rightarrow 系统不稳定；
- ③ p_j 位于S面虚轴 \Rightarrow 临界状态；





3) 零极点分布与系统函数



■ 零点、极点分布：

- 判断电路系统**稳定性**；
- 极点 p_j **数目**取决于**电路系统**电容、电感、有源器件的个数；

■ 系统传递函数 $H(S)$ ：全面反映系统特性；

$$H(s) = \frac{Y(s)}{F(s)} = K \frac{(s - z_1)(s - z_2) \dots (s - z_m)}{(s - p_1)(s - p_2) \dots (s - p_n)} = K \frac{\prod_{i=1}^m (s - z_i)}{\prod_{j=1}^n (s - p_j)}$$

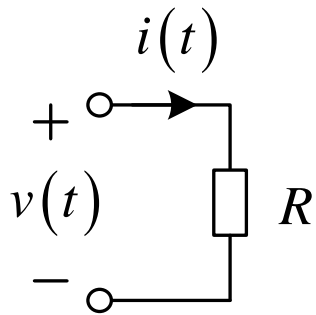
- ✓ 一种系统传输属性，与**激励无关**；
- ✓ 由电路结构+零极点**唯一确定**；
- ✓ 与冲激的响应函数对应；

$$\begin{aligned} h(t) &= L^{-1}[H(s) \cdot \delta(s)] \\ &= L^{-1}[H(s) \cdot 1] = L^{-1}[H(s)] \end{aligned}$$





5) R、L、C元件的复频域模型

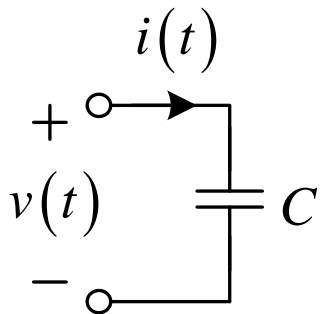


时间域

$$v(t) = R \cdot i(t)$$

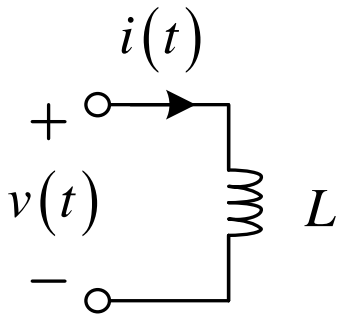
复频域

$$V(s) = RI(s) \Rightarrow Z_R(s) = R \quad \text{复电阻}$$



$$v(t) = \frac{1}{C} \int i(t) dt$$

$$V(s) = \frac{1}{sC} I(s) \Rightarrow Z_C(s) = \frac{1}{sC} \quad \text{复容抗}$$



$$v(t) = L \frac{di(t)}{dt}$$

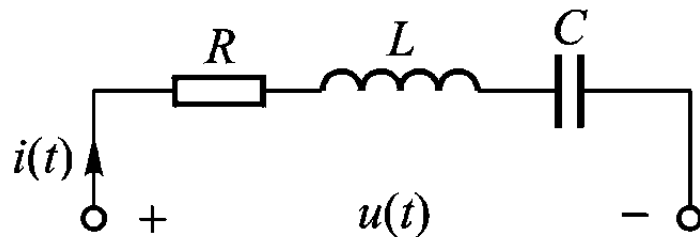
$$V(s) = L \cdot S \cdot I(s) \Rightarrow Z_L(s) = L \cdot S \quad \text{复感抗}$$





6) 复频域形式的欧姆定律

■ R 、 L 、 C 元件串联电路为



■ 由伏安关系可得到电路方程

$$RI(s) + sLI(s) + \frac{1}{sC}I(s) = U(s) \quad \left[R + sL + \frac{1}{sC} \right] I(s) = U(s)$$

■ 欧姆定律的复频域形式:

$$U(s) = Z(s)I(s)$$

$$I(s) = Y(s)U(s)$$

$$\text{复频域阻抗: } Z(s) = R + sL + \frac{1}{sC}$$

$$\text{复频域导纳: } Y(s) = \frac{1}{Z(s)}$$

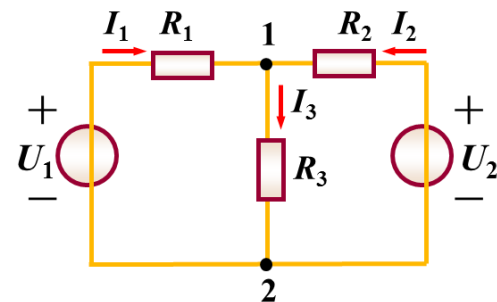




7) 基尔霍夫定律的复频域形式

1. 基尔霍夫节点电流定律KCL: $\sum i(t) = 0$

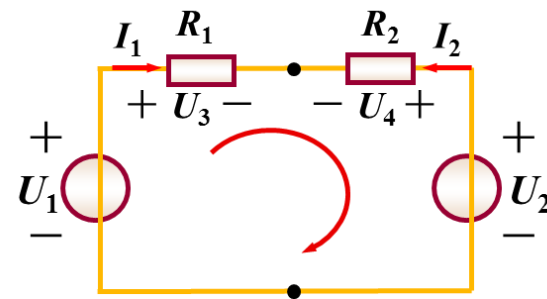
两边取拉氏变换: $\sum I(s) = 0$



结论: 电路中任一节点各支路电流象函数的代数和为零。

2. 基尔霍夫回路电压定律KVL: $\sum u(t) = 0$

两边取拉氏变换: $\sum U(s) = 0$



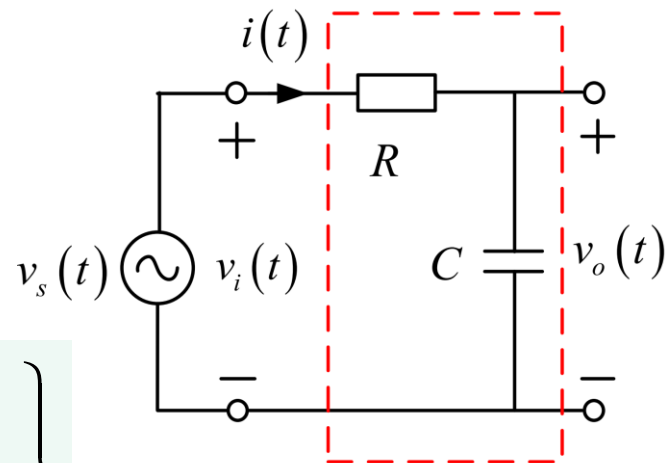
结论: 电路中任一闭合回路各支路电压象函数的代数和为零。





例题1：一阶 RC 电路的复频域分析？

1. 已知一阶 RC 电路结构如图所示，
求复频域输出电压 $V_o(s)$ ？



第一步

分析题意，标明电路
电压电流定义方向，将
时域**信号**变换到**复频域**

$$\left. \begin{aligned} v_i(t) &\xleftrightarrow{L} V_i(s) \\ v_o(t) &\xleftrightarrow{L} V_o(s) \end{aligned} \right\}$$

第二步

电路中**器件复阻抗**表征，
根据电路回路结构，解
复频域响应。

$$V_o(s) = \frac{1/sC}{R + 1/sC} V_i(s) = \frac{1}{1 + sRC} V_i(s)$$

$$\Rightarrow H(s) = \frac{V_o(s)}{V_i(s)} = \frac{1}{1 + sRC}$$

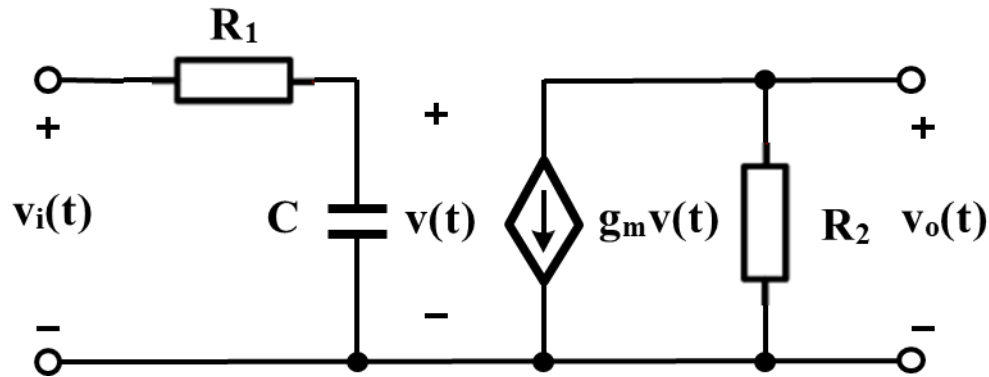
单电容
单极点无零点
系统函数





例题2：线性电路系统传递函数？

2. 求解一阶电路的系统函数复频域分析



解：

$$\left. \begin{aligned} v_i(t) &\xleftrightarrow{L} V_i(s) \\ v(t) &\xleftrightarrow{L} V(s) \\ v_o(t) &\xleftrightarrow{L} V_o(s) \end{aligned} \right\} \begin{aligned} V_i(s) &= V(s) + R_1 \cdot \frac{1}{sC} V(s) \\ V_o(s) &= -g_m V(s) \cdot R_2 \end{aligned} \Rightarrow H(s) = \frac{V_o(s)}{V_i(s)} = \frac{-g_m R_2}{1 + sR_1 C}$$

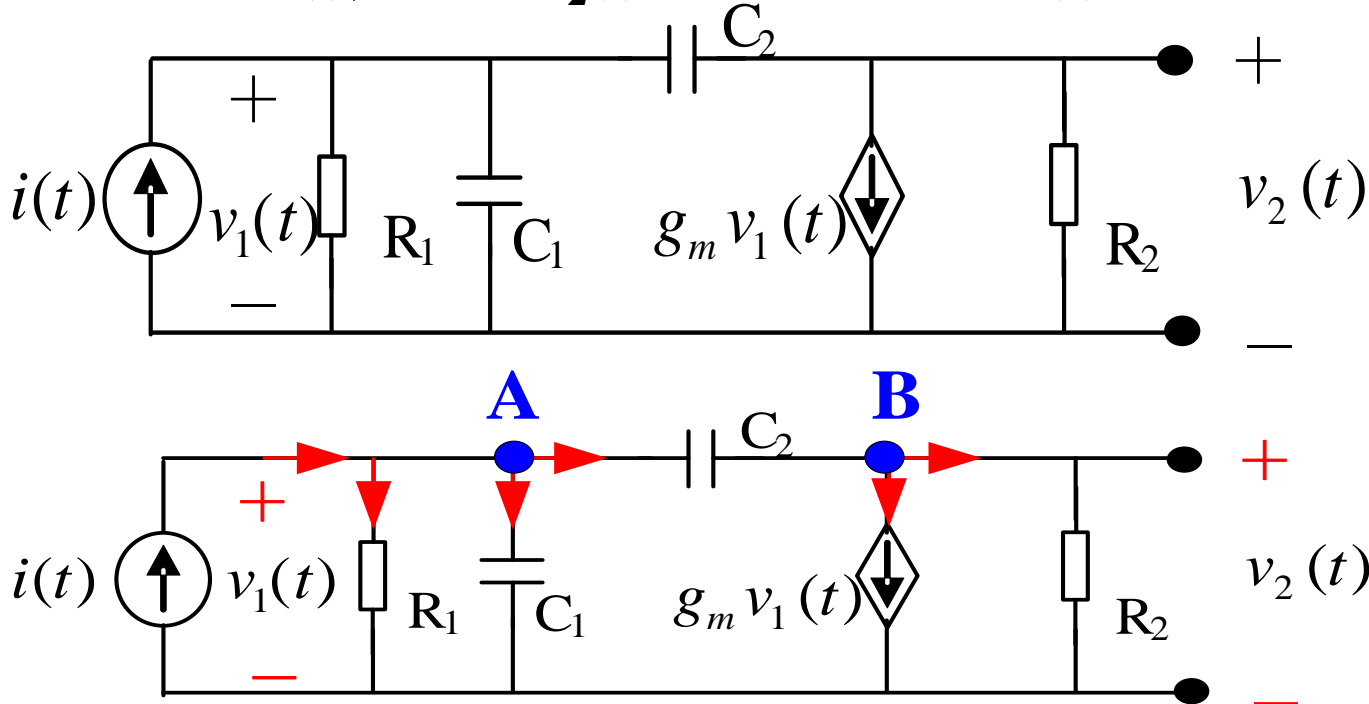
单电容
单极点无零点
系统函数





例题3：二阶电路系统传递函数？

3. 已知输入为 $i(t)$, 输出为 $v_2(t)$, 求系统函数 $H(s)$?



第一步

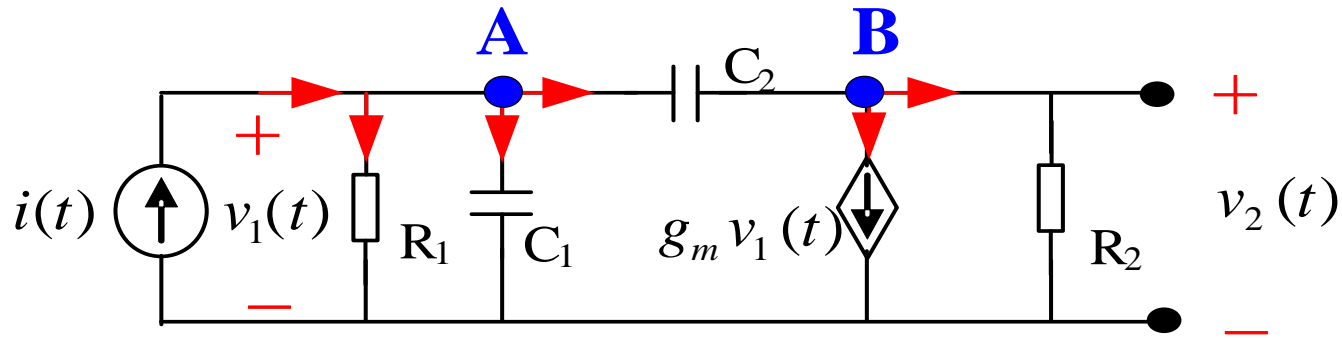
分析题意，标明电路的输入输出端口，所需电压电流的定义方向，并变换到复频域

$$\left. \begin{aligned} i(t) &\xleftrightarrow{L} I(s) \\ v_1(t) &\xleftrightarrow{L} V_1(s) \\ v_2(t) &\xleftrightarrow{L} V_2(s) \end{aligned} \right\} \Rightarrow \text{阻抗传递函数} \quad H(s) = \frac{V_2(s)}{I(s)} = ?$$





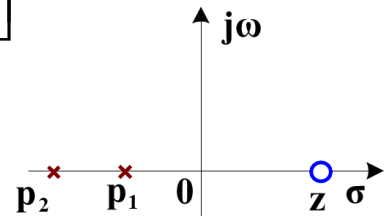
例题3：二阶电路系统传递函数？



第二步：节点电流法，复频域A、B两节点电流方程。

$$\begin{cases} I(s) = \frac{V_1(s)}{R_1} + sC_1 \cdot V_1(s) + sC_2 [V_1(s) - V_2(s)] \\ sC_2 [V_1(s) - V_2(s)] = g_m V_1(s) + \frac{V_2(s)}{R_2} \end{cases}$$

$$H(s) = \frac{V_2(s)}{I(s)} = \frac{R_1 R_2 (sC_2 - g_m)}{s^2 R_1 R_2 C_1 C_2 + s(R_1 C_1 + (R_1 + R_2 + R_1 R_2 g_m) C_2) + 1}$$



双电容
双极点单零点
系统函数

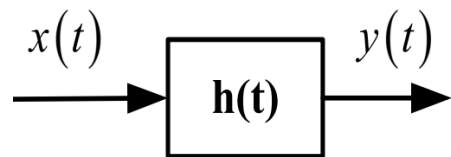
→ 问题：几个零点、极点？为什么？系统稳定吗？





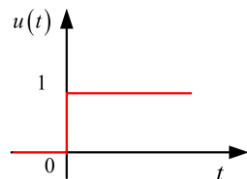
§ 1.2 系统响应

■ 常用的激励函数有哪些？



◆ **正弦**函数 $\sin\omega t$: 不同频率的**稳态特性**; \Rightarrow 频域

◆ **阶跃**函数 $u(t)$: 瞬时变化**非稳态特性**; \Rightarrow 时域



◆ **冲激**函数 $\delta(t)$: 理论分析系统传递函数特性;

■ 系统复频域响应: 由系统**传递函数**和**激励**共同决定;

$$Y(s) = H(s)F(s)$$

■ 系统时域响应

➤ 根据系统传递函数 $H(s)$, 将系统在特定激励 $F(s)$ 下的输出响应 $Y(s)$, 通过拉氏反变换到时域中来。

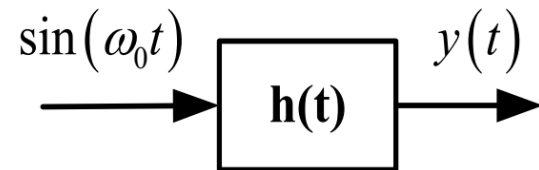
$$y(t) = L^{-1}\{Y(s)\} = L^{-1}\{H(s)F(s)\}$$





§ 1.2.1 频率响应

■ 定义：系统对正弦激励信号的**稳态响应**。



$$\sin \omega_0 t \xleftrightarrow{L} F(S) = \frac{\omega_0}{s^2 + \omega_0^2} = \frac{\omega_0}{(s - j\omega_0)(s + j\omega_0)}$$

复频率响应

$$Y(S) = H(S) \frac{\omega_0}{(s - j\omega_0)(s + j\omega_0)} = K \frac{\prod_{i=1}^m (s - z_i)}{\prod_{j=1}^n (s - p_j)} \cdot \frac{\omega_0}{(s - j\omega_0)(s + j\omega_0)}$$

部分分式展开

$$\xrightarrow{\text{部分分式展开}} = \sum_{j=1}^n \frac{K_j}{s - p_j} + \frac{K_0}{s + j\omega_0} + \frac{\overline{K_0}}{s - j\omega_0}$$

问题： K_0 、 $\overline{K_0}$ 由什么决定？

拉氏反变换

时域频响

$$y(t) = \sum_{j=1}^n K_j e^{p_j t} + K_0 e^{-j\omega_0 t} + \overline{K_0} e^{j\omega_0 t}$$

$t \rightarrow \infty$, 趋于0 ; 自由响应。

强迫响应。





§ 1.2.1 频率响应

■ 稳态频率响应：
$$Y(s) = \sum_{j=1}^n \frac{K_j}{s - p_j} + \frac{K_0}{s + j\omega_0} + \frac{\overline{K_0}}{s - j\omega_0}$$

→
$$(s + j\omega_0)Y(s) = K_0 + (s + j\omega_0) \left(\sum_{j=1}^n \frac{K_j}{s - p_j} + \frac{\overline{K_0}}{s - j\omega_0} \right)$$

$s = -j\omega_0$ →
$$K_0 = (s + j\omega_0)Y(s)|_{s = -j\omega_0} = H(s) \cdot F(s) \cdot (s + j\omega_0)|_{s = -j\omega_0}$$
$$= H(s) \cdot \frac{\omega_0}{(s - j\omega_0)(s + j\omega_0)} (s + j\omega_0)|_{s = -j\omega_0} = \frac{H(-j\omega_0)}{-2j}$$

同理可推

$s = j\omega_0$ →
$$\overline{K_0} = (s - j\omega_0)Y(s)|_{s = j\omega_0} = H(s) \cdot F(s) \cdot (s - j\omega_0)|_{s = j\omega_0} = \frac{H(j\omega_0)}{2j}$$

→ 系统 K_0 与 $\overline{K_0}$ 由系统 $H(s)$ 和正弦激励 $F(s)$ 共同决定！



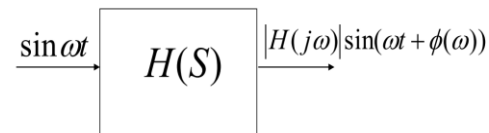


(1) 系统频率响应 $H(j\omega)$

$$\begin{aligned} y(t) &= \sum_{i=1}^n K_j e^{-j\omega_j t} + K_0 e^{-j\omega_0 t} + \overline{K_0} e^{j\omega_0 t} = 0 + \frac{H(-j\omega_0)}{-2j} e^{-j\omega_0 t} + \frac{H(j\omega_0)}{2j} e^{j\omega_0 t} \\ &= \frac{|H(j\omega_0)| e^{-j\phi(\omega_0)}}{-2j} e^{-j\omega_0 t} + \frac{|H(j\omega_0)| e^{j\phi(\omega_0)}}{2j} e^{j\omega_0 t} = |H(j\omega_0)| \sin(\omega_0 t + \phi) \end{aligned}$$

■ 频率响应：相同频率正弦信号，幅度增大 $|H(j\omega_0)|$ ，相移 $\phi(\omega_0)$ ；

➤ $|H(j\omega)|$ 、 $\phi(\omega)$ 分别与 $H(j\omega)$ 的 **模和幅角对应**；



➤ 对于不同频率正弦信号，频率响应 **取决于 $H(j\omega) \sim \omega$**

■ 频率响应函数定义：

$$H(j\omega) = H(s) \Big|_{s=j\omega} = \underbrace{|H(j\omega)|}_{\text{幅频响应}} \underbrace{e^{j\phi(\omega)}}_{\text{相频响应}}$$

反映线性电路系统传递函数的频率特性！

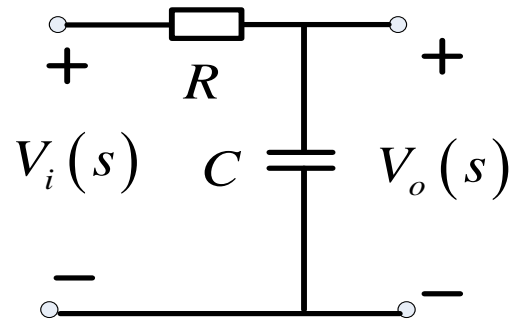




举例1: RC 电路的频率响应

■ 系统传递函数的复频域分析

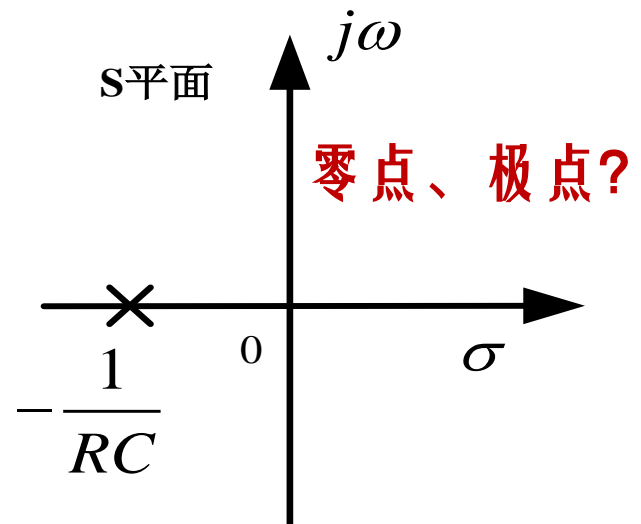
$$H(s) = \frac{V_o(s)}{V_i(s)} = \frac{1/sC}{R + 1/sC} = \frac{1}{1 + sRC} = \frac{1}{1 + \frac{s}{1/RC}}$$



■ 频率响应

$$H(j\omega) = H(s) \Big|_{s=j\omega} = \frac{1}{1 + j\omega RC}$$

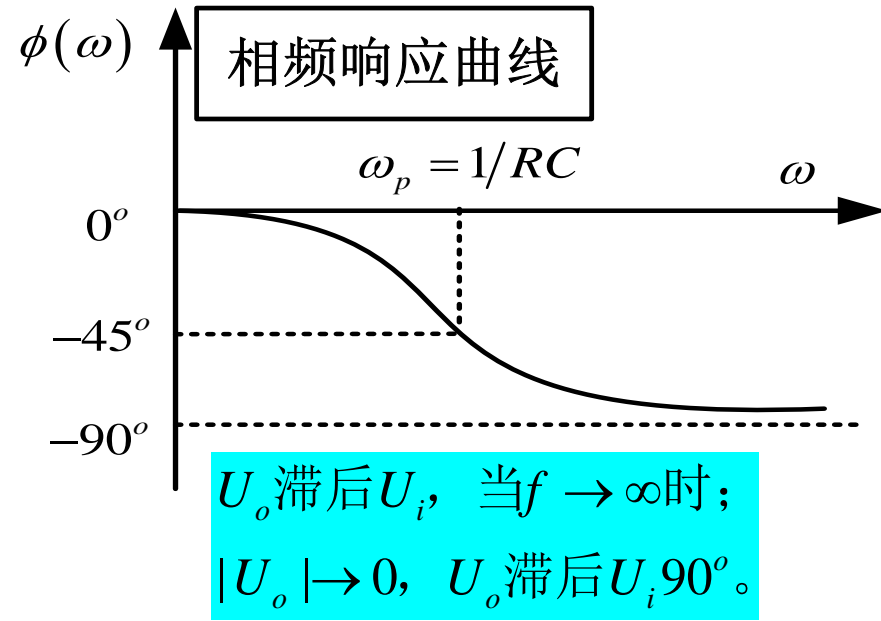
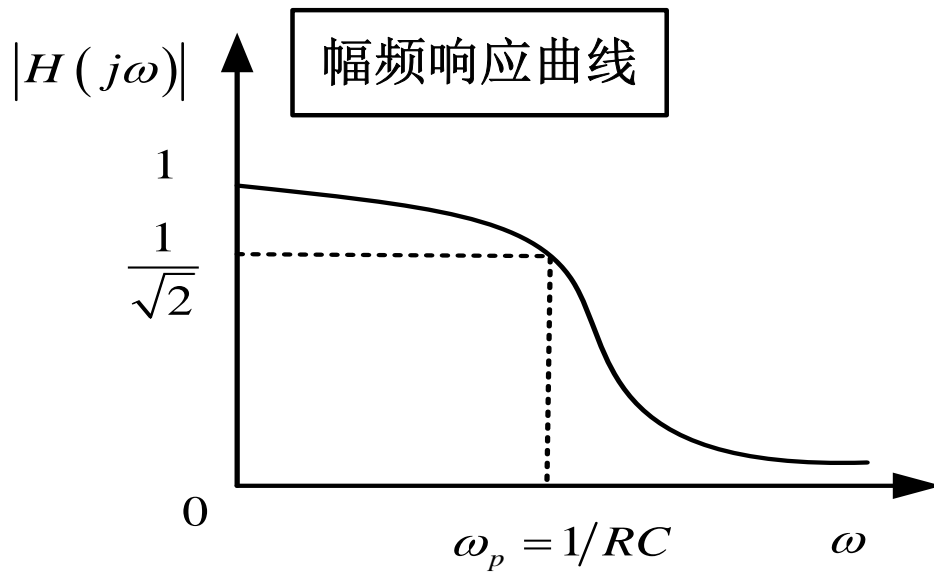
$$\Rightarrow \begin{cases} \text{幅频: } |H(j\omega)| = \frac{1}{\sqrt{1 + (\omega RC)^2}} \\ \text{相频: } \phi(\omega) = -\arctan(\omega RC) \end{cases}$$



零点、极点分布图



举例1: RC 电路的频率响应



■ **单极点一阶低通系统**: 低频信号通过, 高频输入信号大幅衰减。

■ **转折频率**: $\omega_p = |p| = 1/RC$

$$\Rightarrow 20\lg|H(j\omega_p)| = -3\text{dB} \quad \phi(\omega_p) = -45^\circ$$

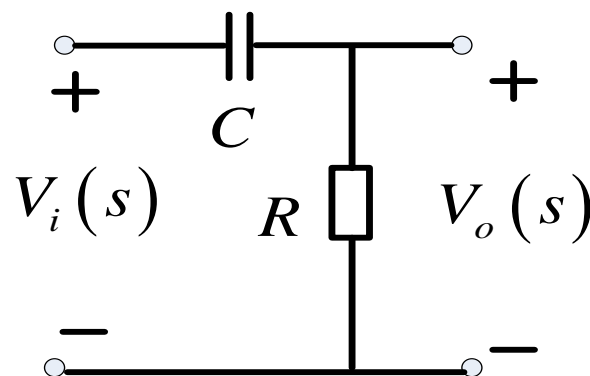




举例2：CR电路的复频域分析

■ 系统传递函数

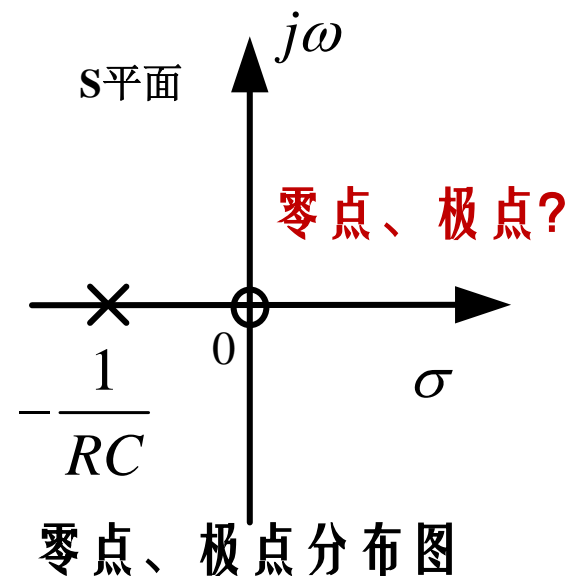
$$\Rightarrow H(s) = \frac{V_o(s)}{V_i(s)} = \frac{R}{R + \frac{1}{sC}} = \frac{sRC}{1 + sRC}$$



■ 频率响应

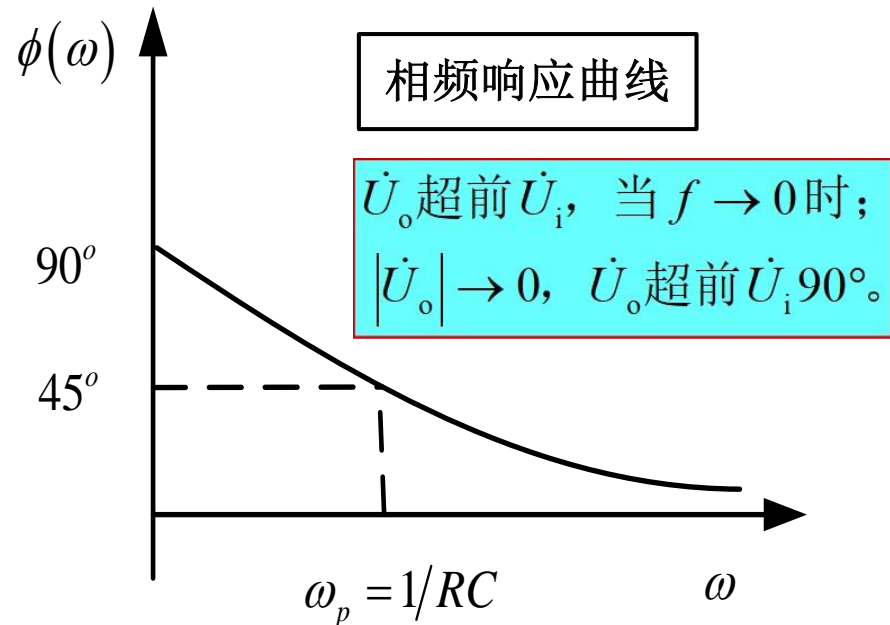
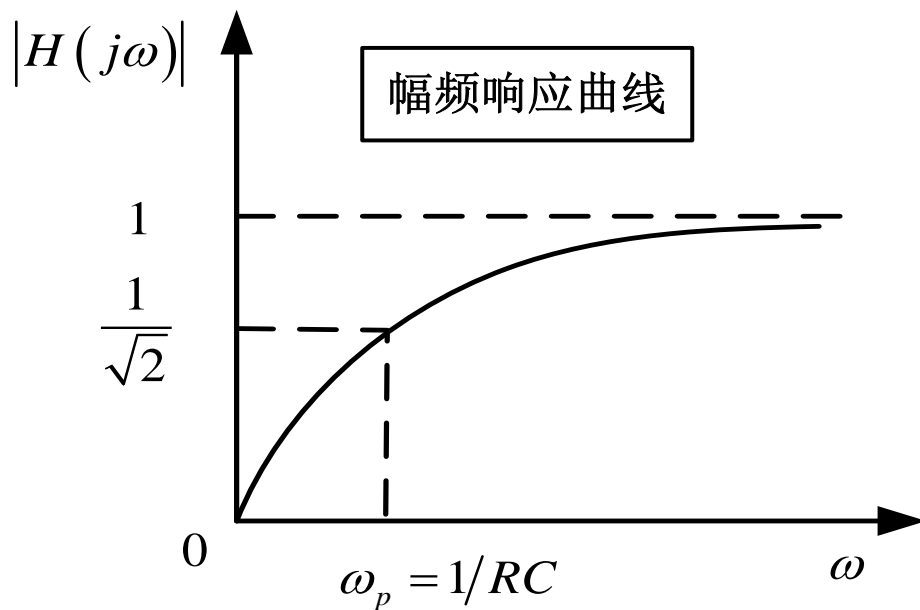
$$H(j\omega) = H(s)|_{s=j\omega} = \frac{j\omega RC}{1 + j\omega RC}$$

$$\Rightarrow \begin{cases} \text{幅频: } |H(j\omega)| = \frac{\omega RC}{\sqrt{1 + (\omega RC)^2}} \\ \text{相频: } \phi(\omega) = 90^\circ - \arctan(\omega RC) \end{cases}$$





举例2：系统频率响应



■ **单极点**一阶高通系统：允许**高频**信号通过，**低频**输入信号大幅衰减。

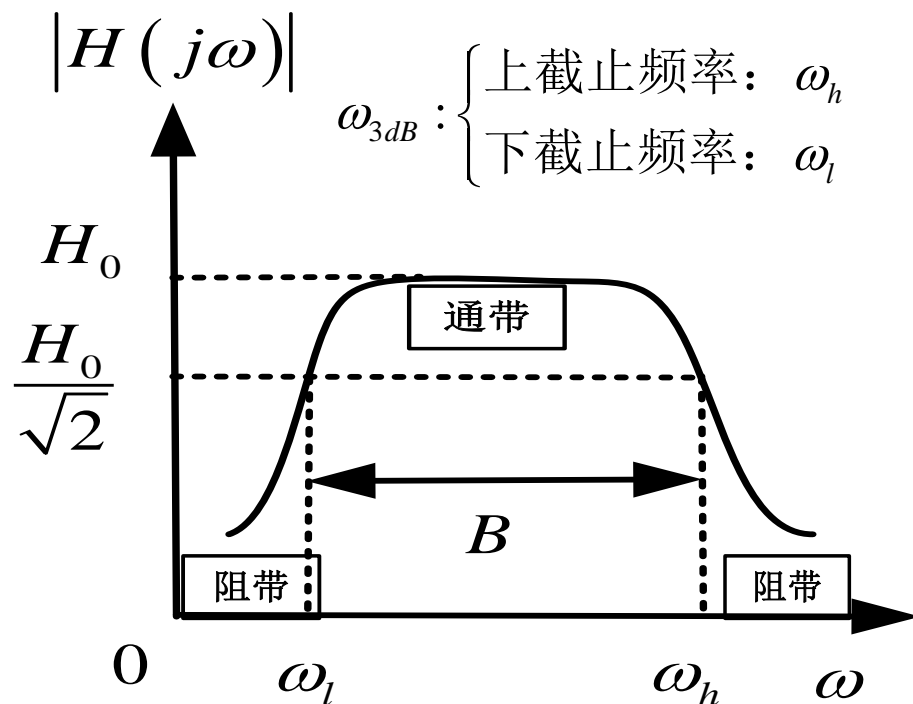
■ **转折频率**：

$$\omega_p = |p| = 1/RC \Rightarrow \begin{cases} |H(j\omega_p)| = \frac{1}{\sqrt{2}} \\ \phi(\omega_p) = 45^\circ \end{cases}$$





(2) 频率响应三个主要参数



频率响应参数

通带增益: H_0

3dB截止频率: ω_{3dB}

$$|H(j\omega_{3dB})| = \frac{H_0}{\sqrt{2}} \sim -3dB$$

通带带宽: $B = \omega_h - \omega_l$

➔ 截止频率 ω_{3dB} 与转折频率 ω_{pj} 的区别 ?

- 截止频率 ω_{3dB} 与系统通带有关；
- 转折频率 ω_{pj} 的与极点 p_j 一一对应；
- 除单极点系统， $\omega_{3dB} \neq \omega_{pj}$

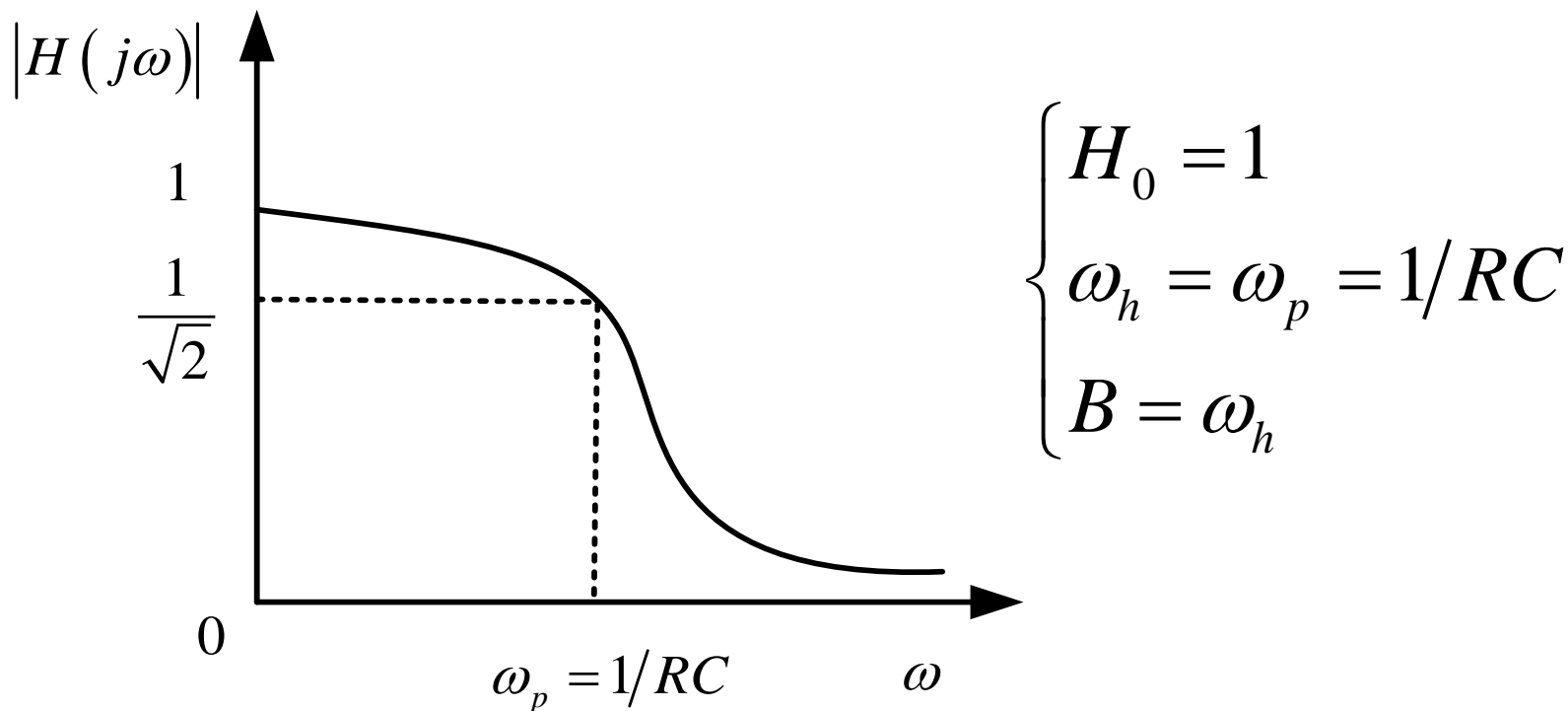
幅频响应 $|H(j\omega)|$ 仅是频率的函数，具体反映了系统对不同频率分量的选通性能！





(2) 频率响应参数

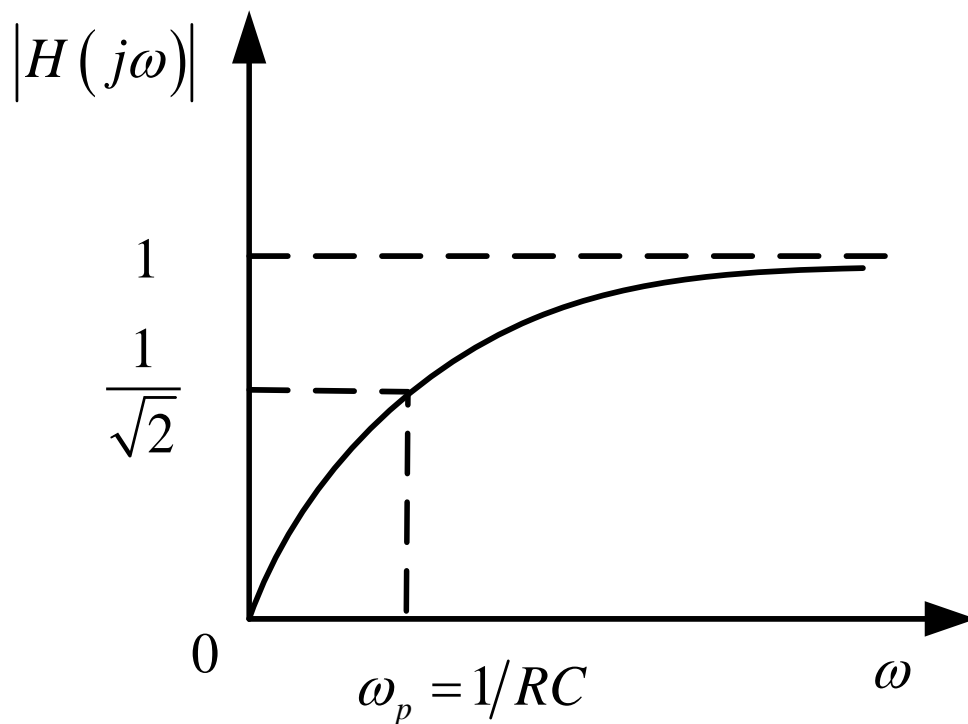
■ 例：单极点RC低通系统的频率响应参数





(2) 频率响应参数

■ 例：单极点CR高通系统的频率响应参数



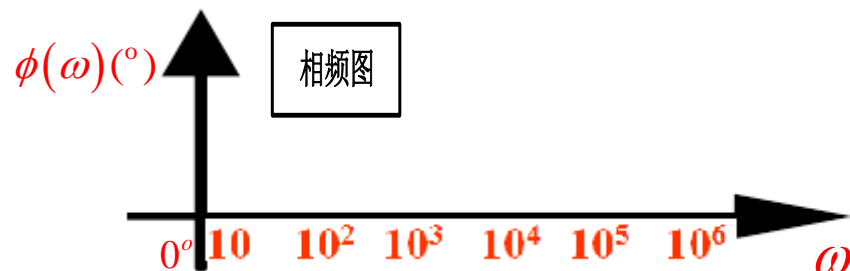
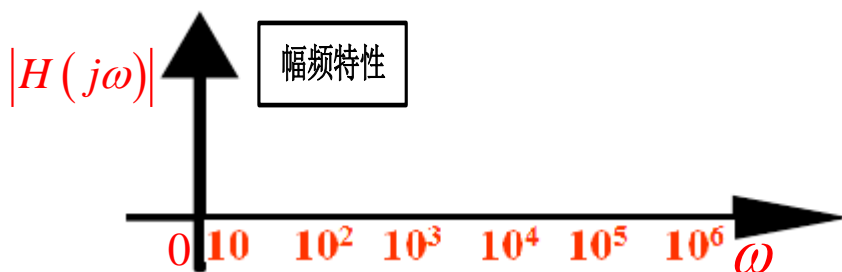
$$\begin{cases} H_0 = 1 \\ \omega_l = \omega_p = 1/RC \\ B = > \omega_l \end{cases}$$





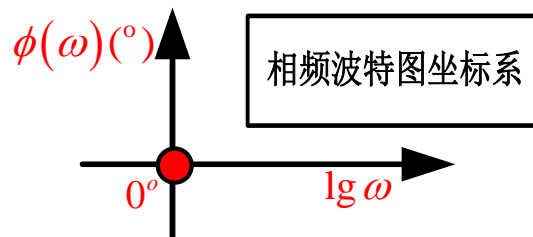
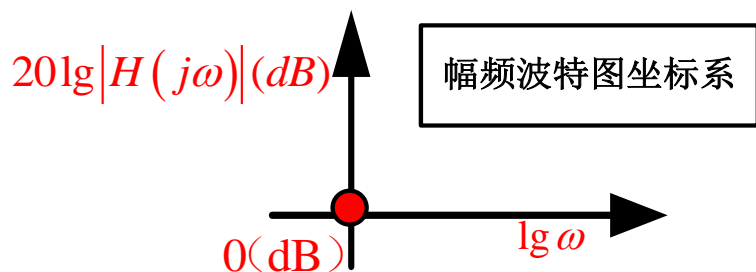
§ 1.2.2 伯德图方法

■ 对数坐标系



➔ 频率跨度大，给绘图带来困难，如何扩大频率的视野？

■ 伯德图：以对数为标尺、用折线绘制的幅频、相频特性曲线



➔ 问题： $\omega=0$ 时，坐标在哪里？





§ 1.2.2 伯德图方法

■ 分贝dB的概念

1. 功率: $10\lg P$

2. 幅度: $20\lg U(s)$; $20\lg I(s)$; $20\lg |H(j\omega)|$;

3. 运算关系:

$$10\lg A \times B = 10\lg A + 10\lg B$$

$$10\lg \frac{A}{B} = 10\lg A - 10\lg B$$





(1) 伯德图方法步骤

■ 第一步：系统函数**标准归一化**处理，分别**独立分析**零、极点和常数项

$$H(s) = \frac{Y(s)}{F(s)} = K \frac{\prod_{i=1}^m (s - z_i)}{\prod_{j=1}^n (s - p_j)} = K' \frac{\prod_{i=1}^m \left(1 - \frac{s}{z_i}\right)}{\prod_{j=1}^n \left(1 - \frac{s}{p_j}\right)}$$

➤ 幅率响应:

$$20\lg|H(j\omega)| = 20\lg|K'| + \sum_{i=1}^m 20\lg\left|1 - \frac{j\omega}{z_i}\right| - \sum_{j=1}^n 20\lg\left|1 - \frac{j\omega}{p_j}\right|$$

常数项 零点 极点

➤ 相频响应:

$$\phi(\omega) = 0^\circ - 180^\circ + \sum_{i=1}^m \arctan\left(\frac{-\omega}{z_i}\right) - \sum_{j=1}^n \arctan\left(\frac{-\omega}{p_j}\right)$$

在对数域，系统所有零极点的幅频及相频贡献满足**线性叠加**关系；





(1) 伯德图方法步骤

■ 第二步：绘制出各**单项**常数项、零点、极点等幅频和相频伯德图；

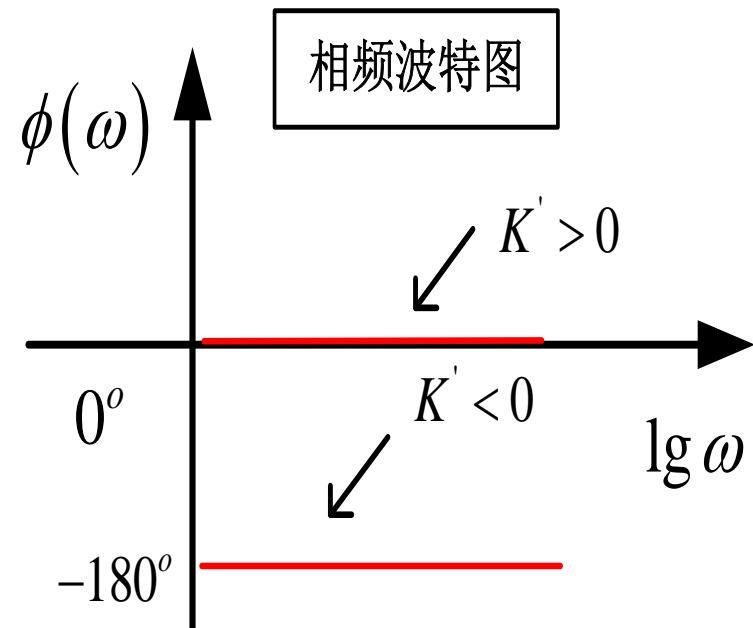
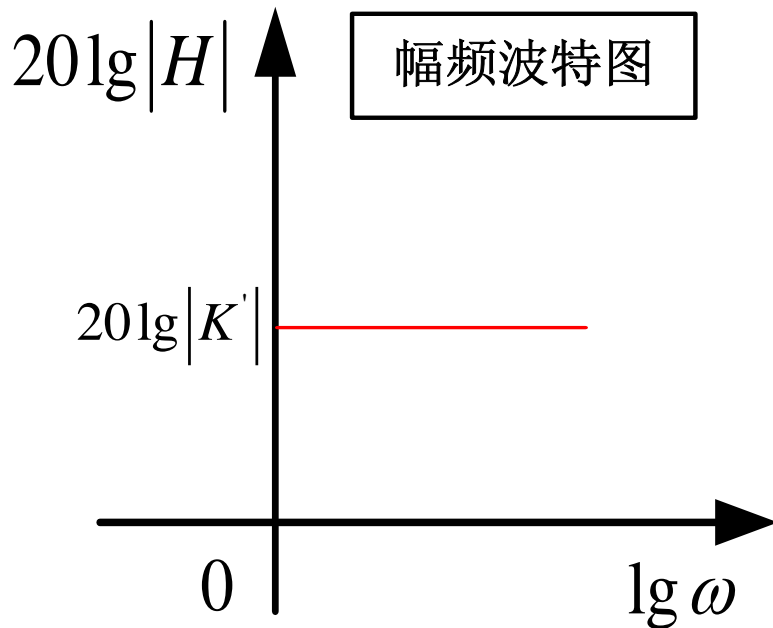
■ 第三步：将各个单项伯德图**线性叠加**在一起，即可完整获得系统的幅频和相频伯德图；





(2) 单项常数项 K' -幅频、相频响应

$$\begin{cases} K' > 0 \\ K' < 0 \end{cases} \Rightarrow 20\lg|H(j\omega)| = 20\lg|K'|$$





(3) 单项负实极点 p_j -幅频响应

定义转折频率: $\omega_p = -p_j$

$$\Rightarrow 20\lg |H(j\omega)| = -20\lg \left| 1 - \frac{j\omega}{p_j} \right| = -20\lg \left| 1 + \frac{j\omega}{\omega_p} \right| = -20\lg \sqrt{1 + \left(\frac{\omega}{\omega_p}\right)^2}$$

近似折线处理

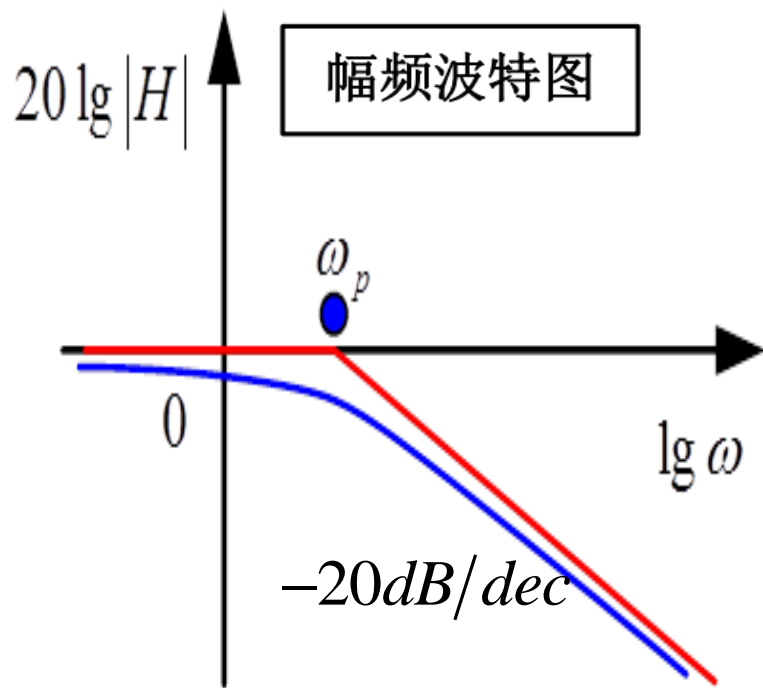
$$= \begin{cases} \omega \ll \omega_p, -20\lg \sqrt{1 + \left(\frac{\omega}{\omega_p}\right)^2} \approx 0dB \\ \omega \gg \omega_p, -20\lg \sqrt{1 + \left(\frac{\omega}{\omega_p}\right)^2} = -20\lg \frac{\omega}{\omega_p} (dB) \end{cases}$$





(3) 单项负实极点 p_j -幅频伯德图

■ 折线化处理：



一个转折点：极点值 ω_p

- 第一直线段：横轴上0到 ω_p 的水平直线；
- 第二直线段：起始于转折频率 ω_p ，斜率为 $-20\text{dB}/\text{dec}$ 的直线；
- 折线化存在误差，最大误差位置在转折频率处，且存在3dB误差；

$$\left. -20\lg \sqrt{1 + \left(\frac{\omega}{\omega_p} \right)^2} \right|_{\omega = \omega_p} = -3\text{dB}$$



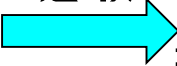


(3) 单项负实极点 p_j ——相频响应

■ 单负实极点的相频响应：

极点转折频率定义： $\omega_p = -p_j$

$$\Rightarrow H(j\omega) = \frac{1}{1 - \frac{j\omega}{p_j}} \Rightarrow \phi(\omega) = -\arctan \frac{-\omega}{p_j} = -\arctan \frac{\omega}{\omega_p}$$

折线近似 

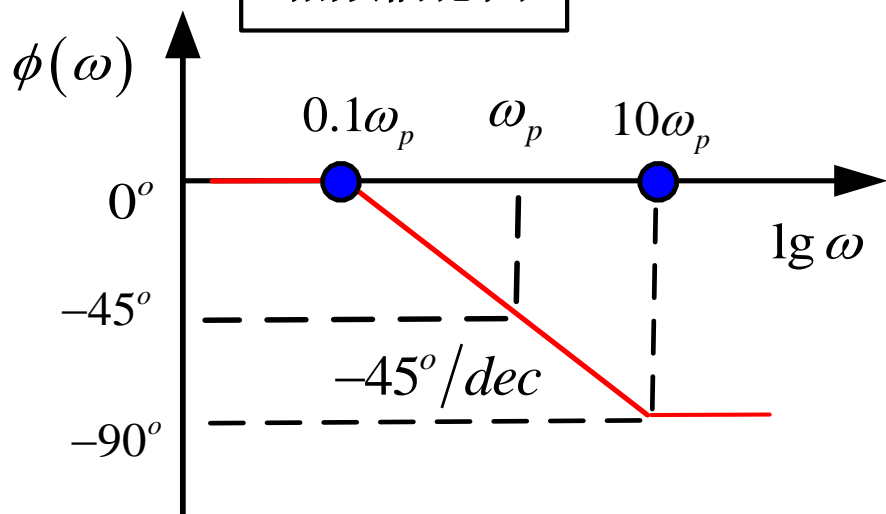
$$= \begin{cases} \omega \ll 0.1\omega_p, & -\arctan \frac{\omega}{\omega_p} \approx 0^\circ \\ \omega = \omega_p, & -\arctan \frac{\omega}{\omega_p} = -45^\circ \\ \omega \gg 10\omega_p, & -\arctan \frac{\omega}{\omega_p} \approx -90^\circ \end{cases} \Rightarrow \begin{cases} -45^\circ \lg \frac{\omega}{0.1\omega_p} \\ \omega \in (0.1\omega_p, 10\omega_p) \end{cases}$$





(3) 单项负实极点 p_j -相频伯德图

相频伯德图



两个转折点： $0.1\omega_p$ 、 $10\omega_p$

➤ 第一条直线段：横轴上从频率0 到 $0.1\omega_p$ 的水平直线；

➤ 第二条直线段：从频率点 $0.1\omega_p$ 至 $10\omega_p$ ，斜率 $-45^\circ/\text{dec}$ 的直线；

➤ 第三条直线段：始于频率点 $10\omega_p$ 的水平直线，纵坐标 -90° ；

转折点的误差



$$\left. \begin{array}{l} 0.1\omega_{p_j} \rightarrow -5.7^\circ \\ \omega_{p_j} \rightarrow -45^\circ \\ 10\omega_{p_j} \rightarrow -84.3^\circ \end{array} \right\} \Rightarrow \Delta\varphi \leq 5.7^\circ$$





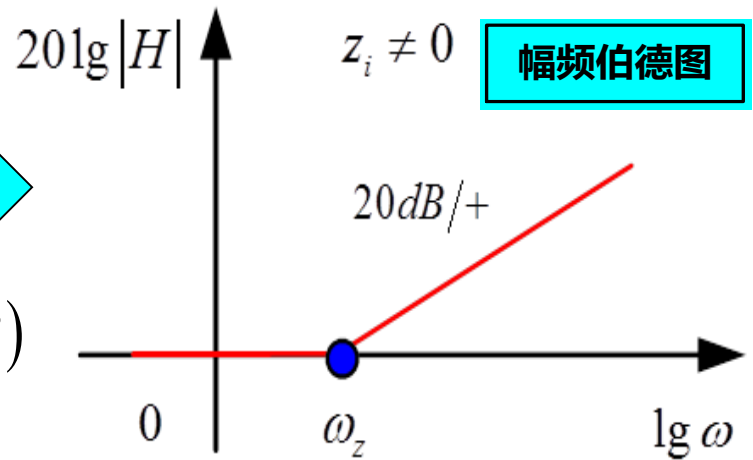
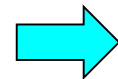
(4) 单项实数零点 $z_i \neq 0$ - 幅频响应

零点转折频率定义: $\omega_z = |z_i| \begin{cases} z_i > 0 \\ z_i < 0 \end{cases}$

$$\Rightarrow 20\lg|H(j\omega)| = 20\lg\left|1 - \frac{j\omega}{z_i}\right| = 20\lg\sqrt{1 + \left(\frac{\omega}{z_i}\right)^2} = 20\lg\sqrt{1 + \left(\frac{\omega}{\omega_z}\right)^2}$$

折线近似 \Rightarrow

$$\begin{cases} \omega \ll \omega_z, 20\lg\sqrt{1 + \left(\frac{\omega}{\omega_z}\right)^2} \approx 0\text{dB} \\ \omega \gg \omega_z, 20\lg\sqrt{1 + \left(\frac{\omega}{\omega_z}\right)^2} = 20\lg\frac{\omega}{\omega_z}(\text{dB}) \end{cases}$$

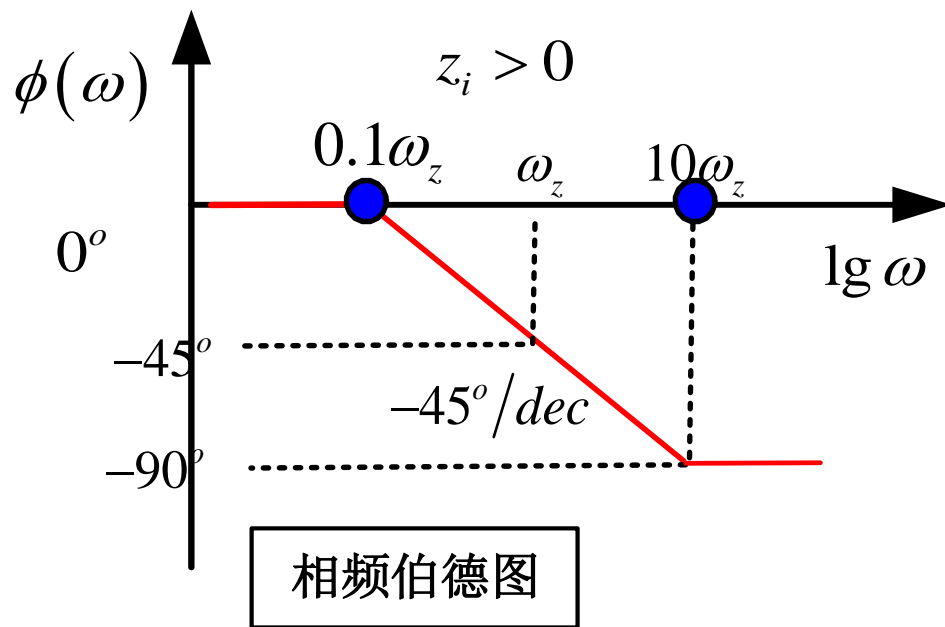




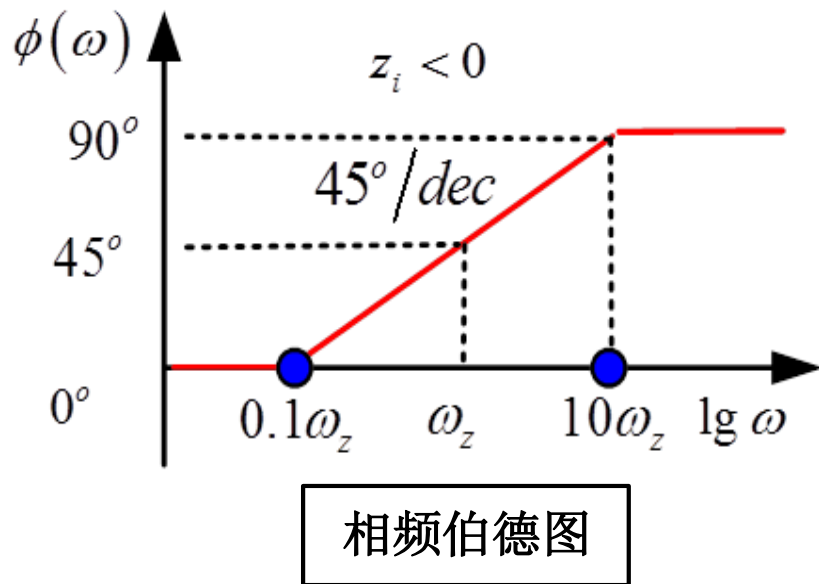
(4) 单项实数零点 $z_i \neq 0$ —相频响应

$$\Rightarrow H(j\omega) = 1 - \frac{j\omega}{z_i} \Rightarrow \phi(\omega) = \arctan \frac{-\omega}{z_i} \Rightarrow \text{附加相位贡献取决于 } z_i \text{ 正负}$$

$$\omega_z = z_i, z_i > 0$$



$$\omega_z = -z_i, z_i < 0$$

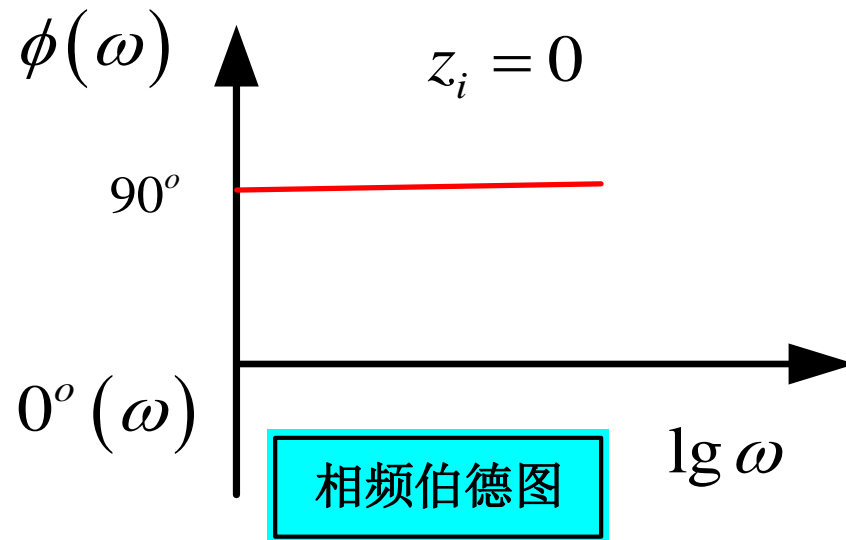
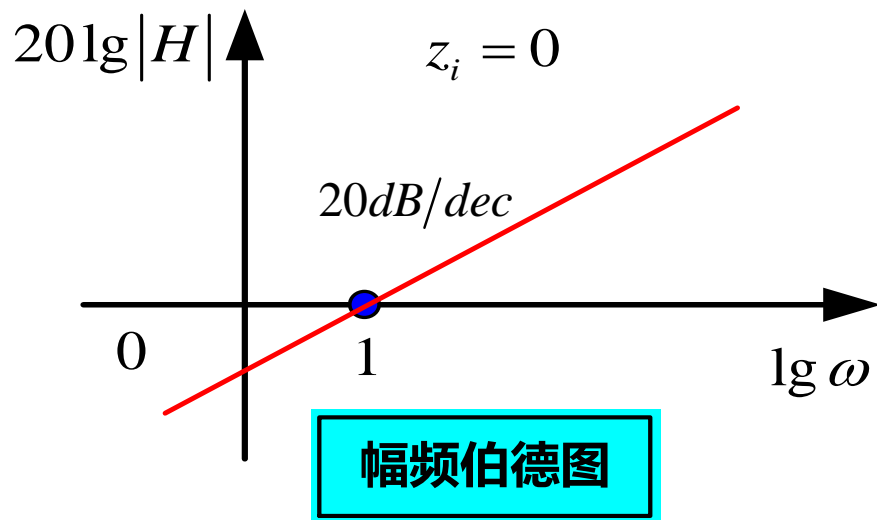




(4) 单项实数零点 $z_i = 0$

$$|H(j\omega)| = S|_{s=j\omega} = j\omega = \omega e^{j90^\circ} \quad (\omega > 0)$$

$$20\lg |H(j\omega)| \Rightarrow 20\lg |j\omega| = 20\lg \omega \quad s \Rightarrow \phi(\omega) = 90^\circ$$



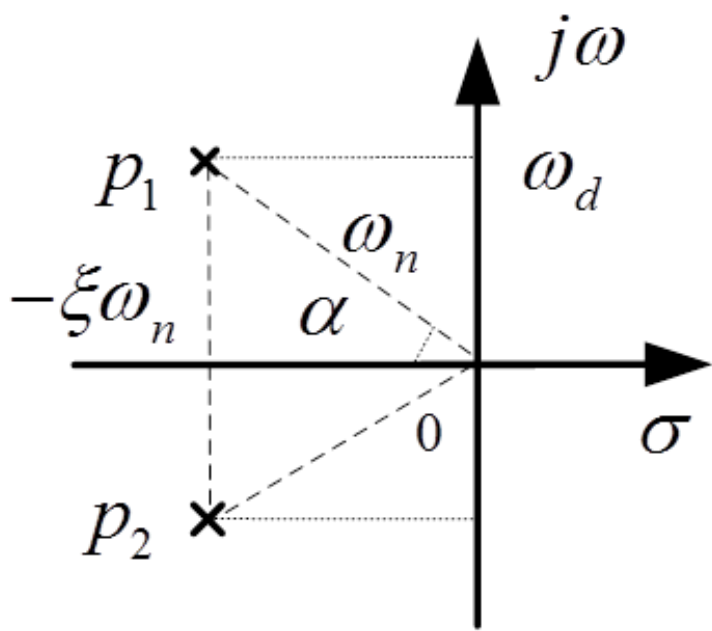


(5) 单项复共轭极点对-幅频响应

■ 共轭极点对: $p_1, p_2 = -a \pm jb$ a, b 为正值

■ 另一种描述参数:

无阻尼自然频率



转折角频率: $\omega_n = \sqrt{a^2 + b^2}$

阻尼系数: $\xi = \cos \alpha = \frac{a}{\omega_n}$ $\xi \in (0, 1)$

则: $p_1, p_2 = -\xi\omega_n \pm j\omega_n\sqrt{1-\xi^2}$

阻尼自然频率: $\omega_d = \sqrt{\omega_n^2 - a^2}$





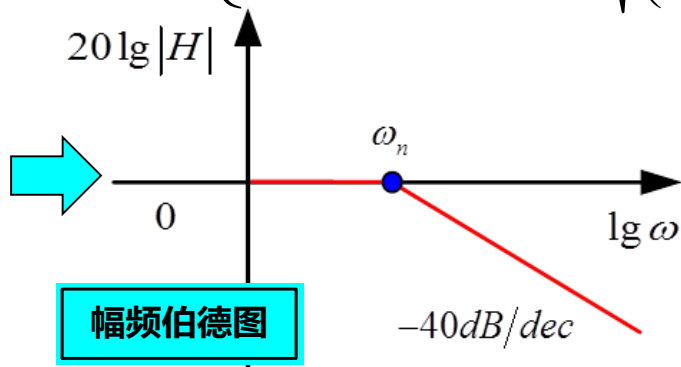
(5) 单项复共轭极点对一幅频响应

$$\left(1 - \frac{j\omega}{p}\right) \left(1 - \frac{j\omega}{p^*}\right) = 1 - \frac{\omega^2}{\omega_n^2} + j \frac{2\xi\omega}{\omega_n}$$

$$\longrightarrow -20\lg \left| \left(1 - \frac{j\omega}{p}\right) \left(1 - \frac{j\omega}{p^*}\right) \right| = -20\lg \sqrt{\left(1 - \frac{\omega^2}{\omega_n^2}\right)^2 + \left(\frac{2\xi\omega}{\omega_n}\right)^2}$$

折线近似 \longrightarrow

$$= \begin{cases} \omega \ll \omega_n, & -20\lg \sqrt{\left(1 - \frac{\omega^2}{\omega_n^2}\right)^2 + \left(\frac{2\xi\omega}{\omega_n}\right)^2} \approx 0dB \\ \omega \gg \omega_n, & -20\lg \sqrt{\left(1 - \frac{\omega^2}{\omega_n^2}\right)^2 + \left(\frac{2\xi\omega}{\omega_n}\right)^2} \approx -40\lg \frac{\omega}{\omega_n} (dB) \end{cases}$$



问题：为什么斜率是-40dB/dec ?

- \longrightarrow
- 两个极点的贡献；
 - 折线与阻尼系数 ξ 无关。





(5) 单项复共轭极点——误差分析

- 转折点 ω_n 处误差最大；
- 该点误差与阻尼系数有关

$$-20\lg \sqrt{\left(1 - \frac{\omega^2}{\omega_n^2}\right)^2 + \left(\frac{2\xi\omega}{\omega_n}\right)^2} \Big|_{\omega = \omega_n}$$
$$= -20\lg 2\xi = -6\text{dB} - 20\lg \xi = \Delta = \begin{cases} -6\text{dB}, \alpha = 0^\circ \text{时} \\ -3\text{dB}, \alpha = 45^\circ \text{时} \\ 0\text{dB}, \alpha = 60^\circ \text{时} \\ 8\text{dB}, \alpha = 78^\circ \text{时} \end{cases}$$

上冲

$\alpha > 60^\circ$

$\alpha < 60^\circ$

ω_0

-40dB/dec

- ➔ $\alpha = 60^\circ$ 时, $\xi = 1/2$, $-20\lg \xi = 6\text{dB}$, 误差 $\Delta = 0$;
- $\alpha > 60^\circ$ 越大, $\xi < 1/2$ 越小, 误差 Δ 为正值, 上冲+不稳定;
- $\alpha = 45^\circ$ 时, $\xi = 1/\sqrt{2}$; 转折频率 ω_n 恰为截止频率 $\omega_{3\text{dB}}$;
- $\alpha < 45^\circ$ 越小, $\xi > 1/\sqrt{2}$ 越大, 误差 Δ 负值, 通带变窄;

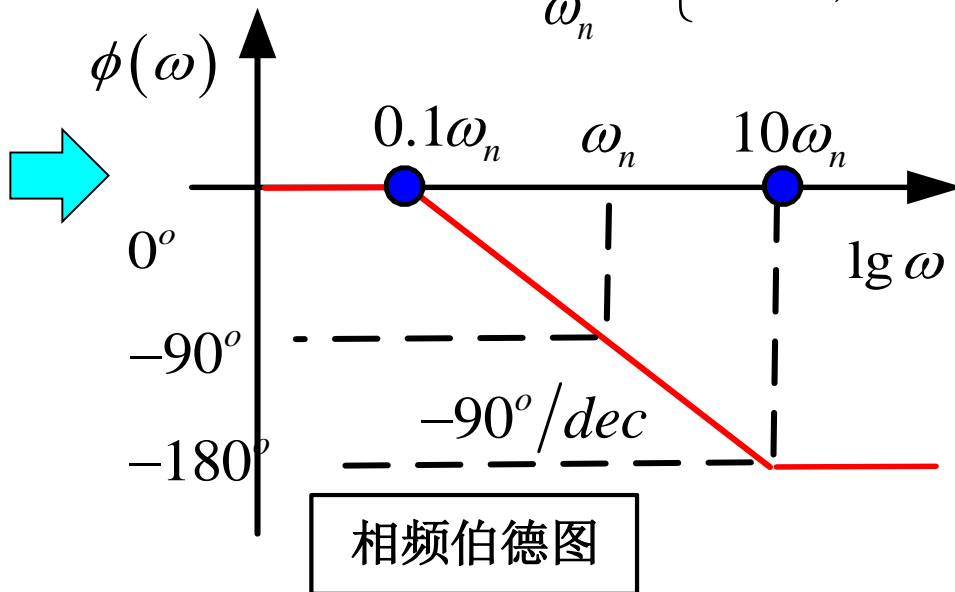




(5) 单项复共轭极点对-相频响应

$$\left(1 - \frac{j\omega}{p}\right) \left(1 - \frac{j\omega}{p^*}\right) = 1 - \frac{\omega^2}{\omega_n^2} + j \frac{2\xi\omega}{\omega_n}$$

$$\Rightarrow \phi(\omega) = -\arctan \frac{2\xi \frac{\omega}{\omega_n}}{1 - \frac{\omega^2}{\omega_n^2}} = \begin{cases} 0^\circ, & \omega \ll 0.1\omega_n \\ -90^\circ, & \omega = \omega_n \\ -180^\circ, & \omega \gg 10\omega_n \end{cases} \Rightarrow \begin{cases} -90^\circ \lg \frac{\omega}{0.1\omega_n} \\ \omega \in (0.1\omega_n, 10\omega_n) \end{cases}$$



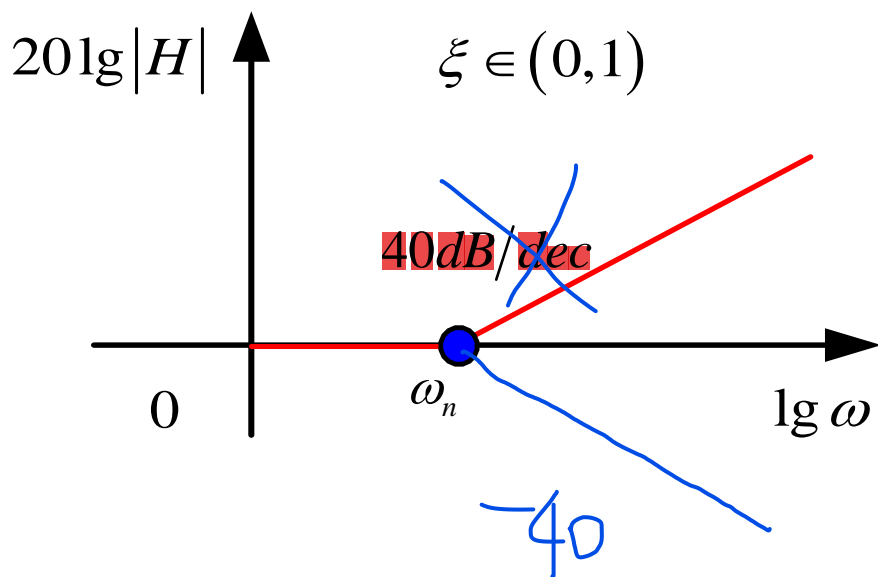
- 两个极点的贡献；
- 折线与阻尼系数 ξ 无关。



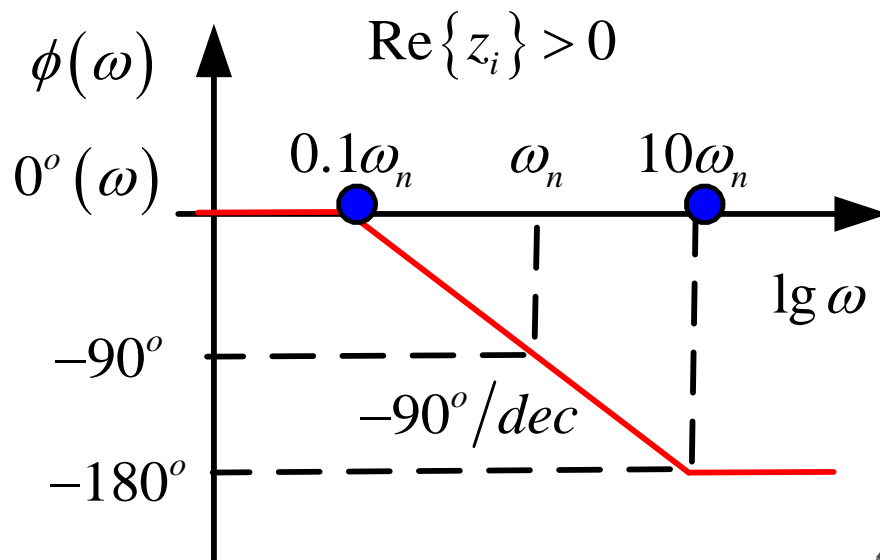
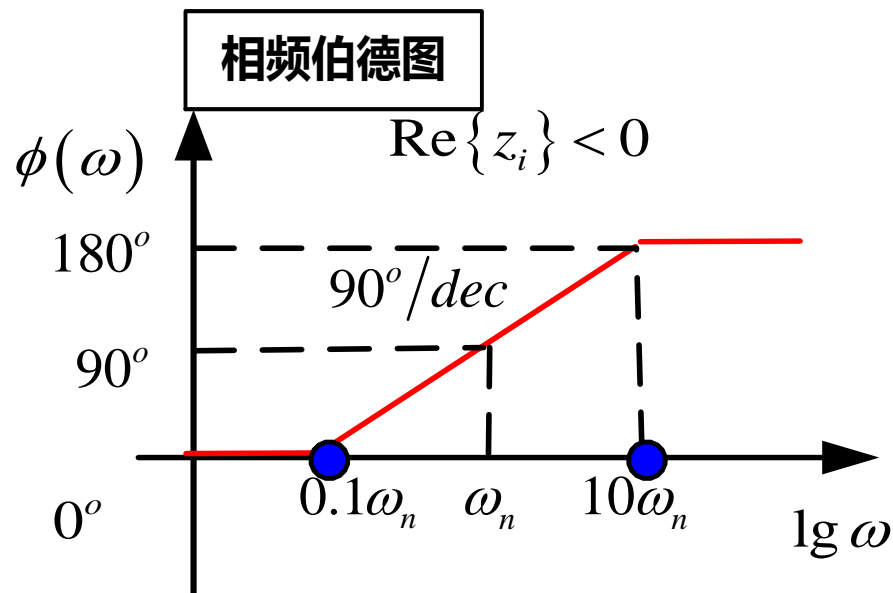


(6) 单项复共轭零点对一幅频响应

幅频伯德图



相频伯德图





(7) 伯德图归纳

■ *Bode* 伯德图：大频率范围、近似折线化系统频响作图方法；

与零极点
直接关联

1. 对数坐标系： $[10\lg \omega, 20\lg |H(j\omega)|]$
2. 原理：由常数项、零点、极点 **单项折线** 的线性叠加；
3. 折线斜率：(1) 幅频：“**零正极负**” ($20\text{dB}/\text{dec}$)；
(2) 相频：“**零正极负**” ($45^\circ/\text{dec}$)；
 仅正零点 $z_j \Rightarrow$ **负斜率** ($-45^\circ/\text{dec}$)；
(3) n 阶 **相同零极点**，斜率 n 倍，转折点不变；
4. **重点标明**：转折点坐标（**仍标角频率 ω** ）+ 折线斜率；
5. 关注误差：转折点 \Rightarrow 幅度： **3dB 误差**
 相位： $\Delta\varphi \leq 5.7^\circ$
6. **终极目标**—估算系统**带通参数**： $H_0, \omega_{3\text{dB}}, \omega_l, \omega_h, B$





(7) 伯德图的实例分析1

已知 $H(s) = \frac{2 \times 10^2 s (s + 2)}{(s + 1)(s + 20)}$, 画伯德图

■ 第一步：归一化、标准化表示

$$H(s) = \frac{2 \times 10^2 s \times 2 \left(1 + \frac{s}{2}\right)}{(1 + s) \times 20 \times \left(1 + \frac{s}{20}\right)} = 20 \times \frac{s \left(1 - \frac{s}{-2}\right)}{\left(1 - \frac{s}{-1}\right) \left(1 - \frac{s}{-20}\right)}$$

零、极点？

$\Rightarrow \begin{cases} \text{常数项: } K' = 20, \text{ 即 } 26\text{dB} \\ \text{两个实零点: } 0, -2 \\ \text{两个负实极点: } -1, -20 \end{cases}$

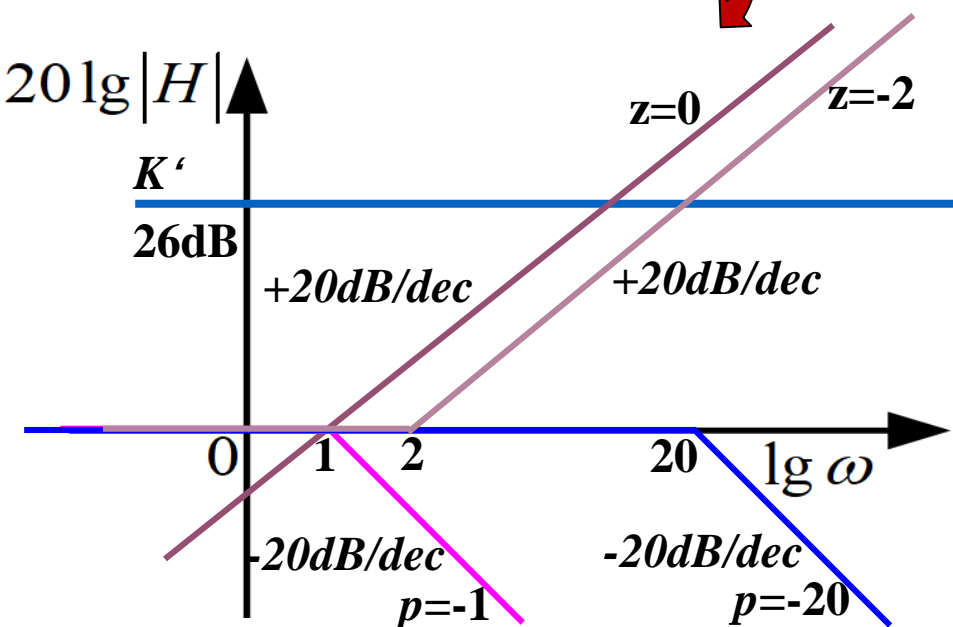




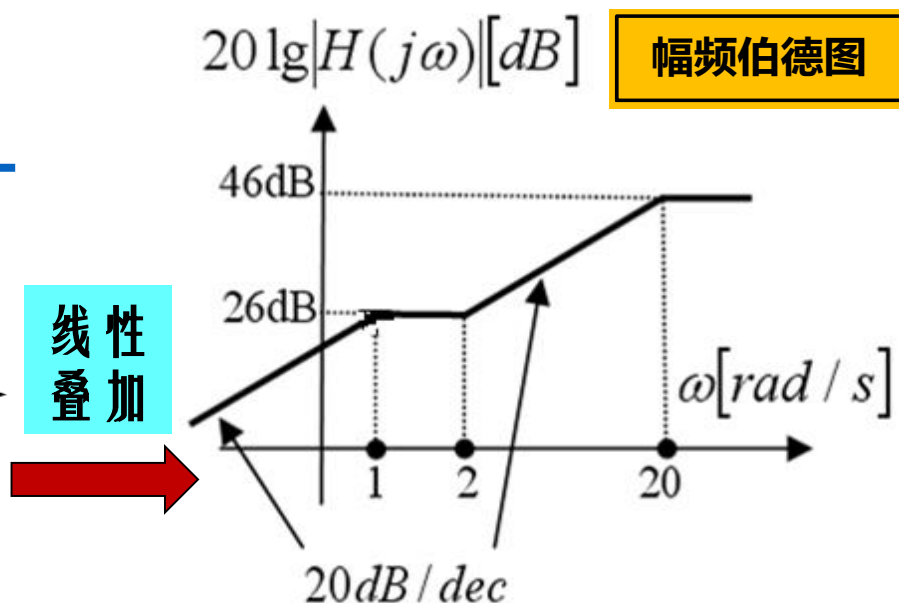
(7) 实例分析1

■ 第二步：画出各单项因子幅频伯德图，标明转折点及折线斜率；

$$\Rightarrow \begin{cases} \text{常数项: } K' = 26\text{dB} \\ \text{零点: } 0, -2 \\ \text{极点: } -1, -20 \end{cases}$$



■ 第三步:线性叠加出完整幅频伯德图；

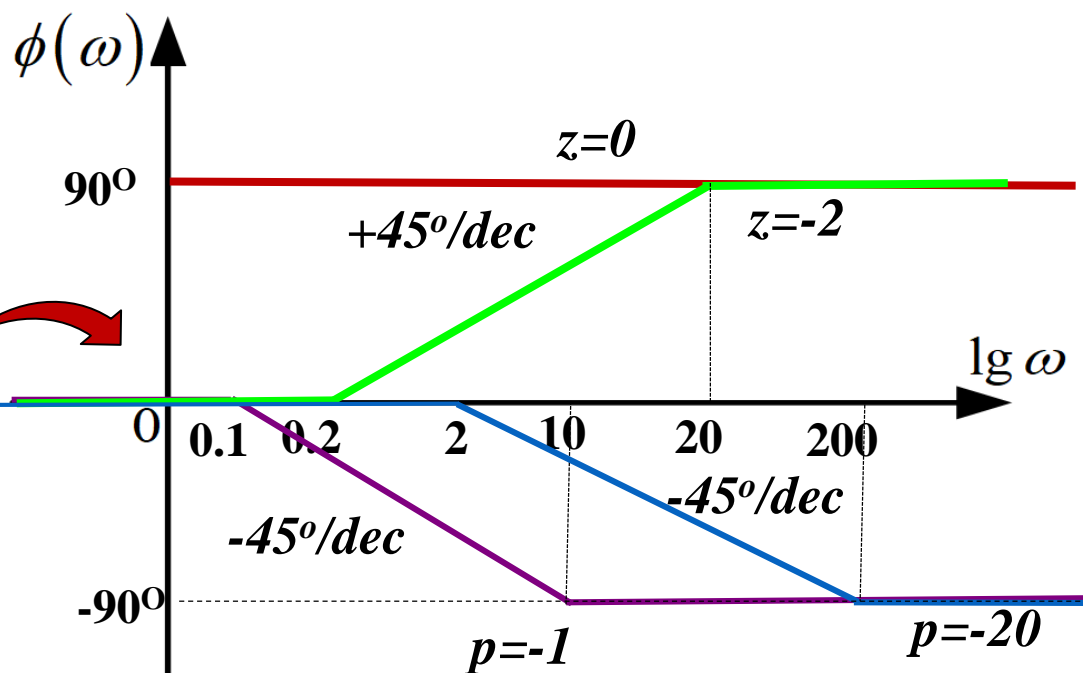




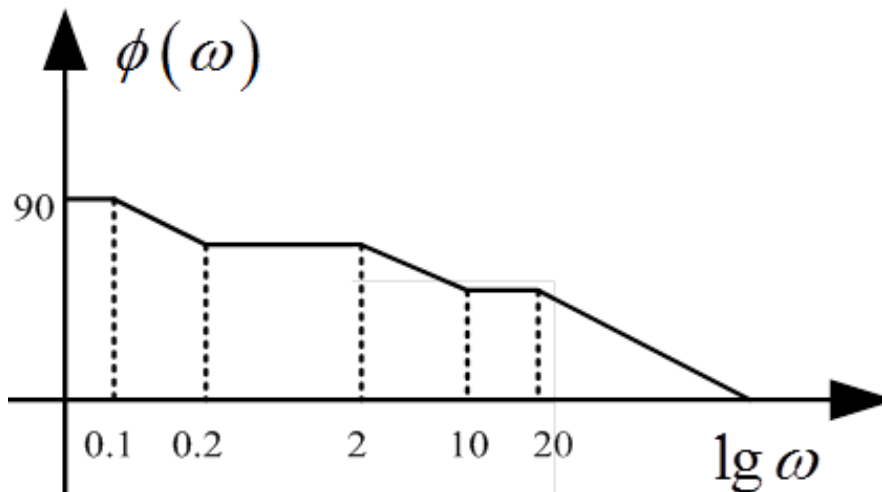
(7) 实例分析1

相频伯德图

\Rightarrow { 常数项: $K' = 26\text{dB}$
零点: 0, -2
极点: -1, -20



线性叠加





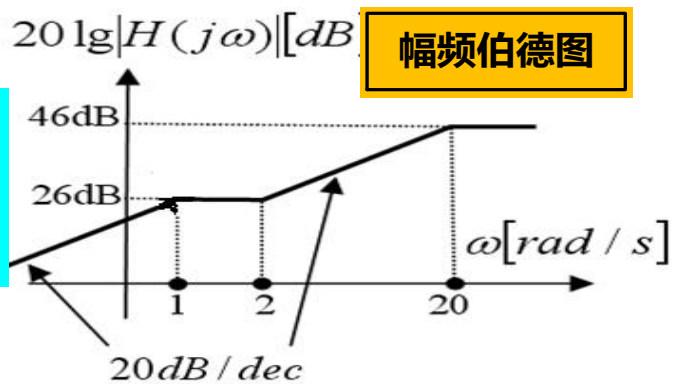
(7) 实例分析1

试确定系统的通带特性，求通带增益和截止频率。

■ 系统通带特性：高通系统： H_0, ω_l

求 H_0 ：伯德图方法1：5项分别算

常数项： $K' = 20$
两个实零点： $0, -2$
两个负实极点： $-1, -20$



$$H_0 \Big|_{\omega=20} = 20\lg 20 + 20\lg \frac{20}{1} +$$

$$20\lg \frac{20}{2} - 20\lg \frac{20}{1} - 20\lg \frac{20}{20} = 46\text{dB}$$

公式方法2：极限法

$$\lim_{s \rightarrow \infty} |H(s)| = \lim_{s \rightarrow \infty} \frac{2 \times 10^2 s(s+2)}{(s+1)(s+20)} = \lim_{s \rightarrow \infty} \frac{2 \times 10^2 \frac{s}{s} \left(1 + \frac{2}{s}\right)}{\left(1 + \frac{1}{s}\right) \left(1 + \frac{20}{s}\right)} = 200 = 46\text{dB}$$

公式方法3：由已得到的幅频伯德图算得：

起点后的幅度上升为 $\omega=2 \rightarrow \omega=20$ ，斜率 20dB/dec ，故： $26 + 20\lg 20/2 = 46\text{dB}$



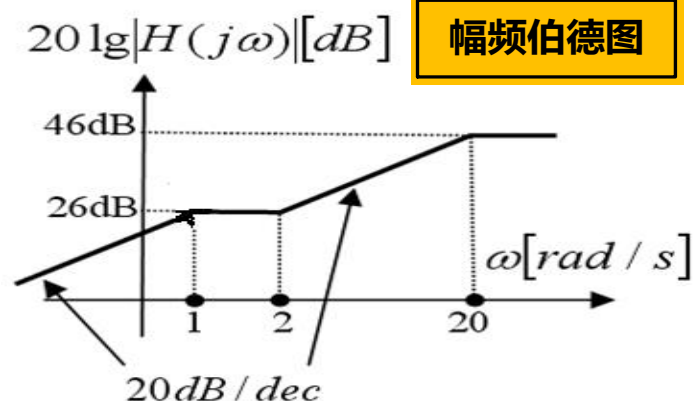


(7) 实例分析1

■ 下限截止频率 ω_l :

伯德图方法1: 主极点决定。

$$\omega_{p_2} \gg \omega_{p_1} \Rightarrow \omega_l = \omega_{p_2} = 20 \text{ rad/s}$$



公式方法2: 3dB截止频率定义, 得精确解:

$$|H(j\omega_l)| = \frac{200}{\sqrt{2}}$$

$$\Rightarrow |H(j\omega_l)| = \left| \frac{2 \times 10^2 j\omega(j\omega + 2)}{(j\omega + 1)(j\omega + 20)} \right| \Rightarrow \omega_l = 19.83 \text{ rad/s}$$

分析: 0.17误差的根源在哪里? 其它零、极点的影响。





(7) 完整伯德图实例2

已知 $H(s) = \frac{10^6 (s + 2)}{(s + 10)(s^2 + 10^2 s + 10^4)}$ ，画出幅频响应伯德图，确定通带特性，求出频率响应参数。

■ 标准形式处理，分析单项参数：

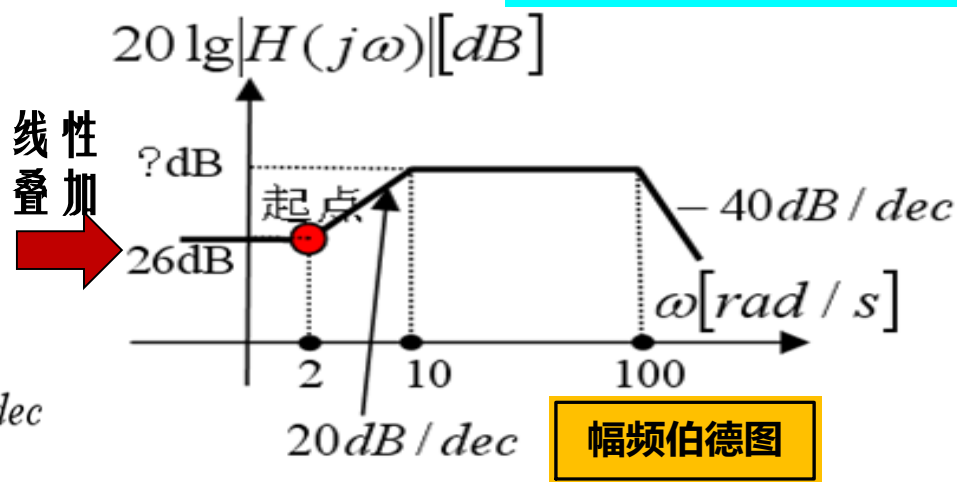
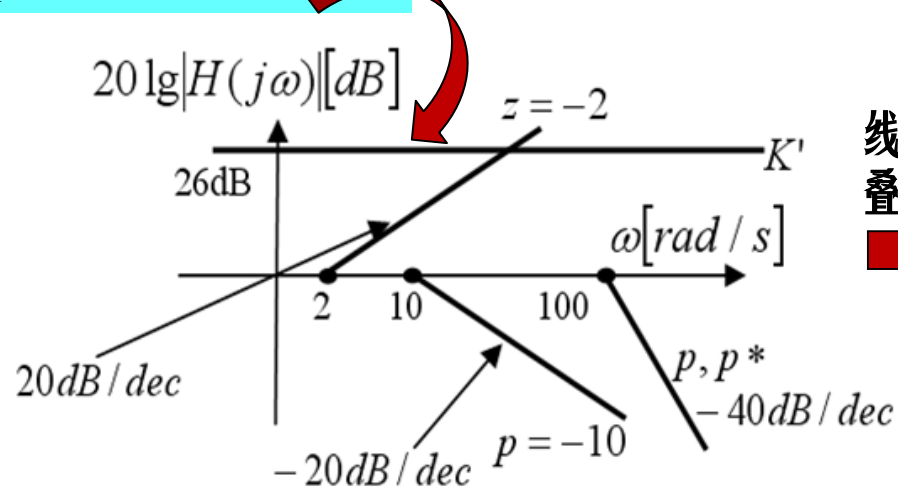
$$\begin{aligned} H(s) &= \frac{10^6 \times 2 \left(1 + \frac{s}{2}\right)}{10 \left(1 + \frac{s}{10}\right) \times 10^4 \times \left(1 + \frac{1}{10^2}s + \frac{s^2}{10^4}\right)} \\ &= 20 \frac{\left(1 + \frac{s}{2}\right)}{\left(1 + \frac{s}{10}\right) \left(1 + \frac{1}{10^2}s + \frac{s^2}{10^4}\right)} \end{aligned} \Rightarrow \begin{cases} \text{常数项 } K': 20 \\ \text{一个零点: } -2 \\ \text{三个极点: } -10, -\frac{10^2}{2} \pm j \frac{\sqrt{3}}{2} \times 10^2 \\ \Rightarrow \omega_n = 10^2 \text{ rad/s} \end{cases}$$



(7) 实例2

$$\Rightarrow \begin{cases} \text{常数 } K': 20 \\ \text{零点: } -2 \\ \text{极点: } -10, -\frac{10^2}{2} \pm j\frac{\sqrt{3}}{2} \times 10^2 \\ \Rightarrow \omega_n = 10^2 \text{ rad/s} \end{cases}$$

带通系统: H_0, ω_l, ω_h



幅频伯德图

■ 由伯德图求 H_0 : $20\lg H_0 = 26 + 20\lg \frac{10}{2} = 40(\text{dB}) \Rightarrow H_0 = 100$

■ 下限截止频率 ω_l : 伯德图方法1: 主极点决定: $10 \gg 2 \Rightarrow \omega_l = 10\text{ rad/s}$

公式法2: $H(s) = \frac{10^6(s+2)}{(s+10)(s^2+10^2s+10^4)}$ 由 $s \ll 10^2 \Rightarrow \frac{10^6}{s^2+10^2s+10^4} \approx 10^2$

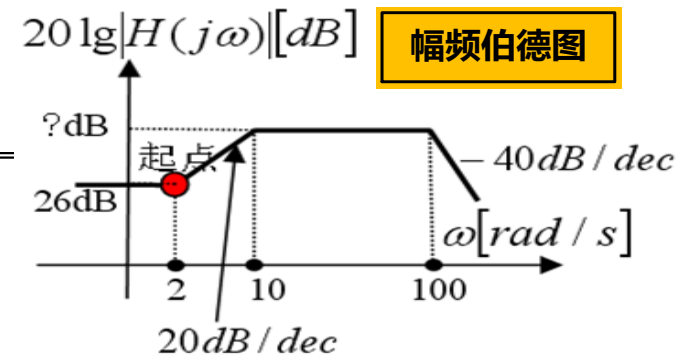
$$\Rightarrow H(s) = 10^2 \cdot \frac{s+2}{s+10}$$

$$|H(j\omega_l)| = \frac{H_0}{\sqrt{2}} \Rightarrow \omega_l = 9.59\text{ rad/s}$$





(7) 实例2



■ 求上限截止频率 ω_h :

$$\alpha = 60^\circ, \xi = 0.5 \Rightarrow \omega_h \neq \omega_n, \quad \text{if} \left(\xi = \frac{1}{\sqrt{2}} \right) \Rightarrow \omega_h = 100 \text{ rad/s}$$

由公式法:

$$H(s) = \frac{10^6 (s+2)}{(s+10)(s^2 + 10^2 s + 10^4)}$$

$$s \gg 10 \Rightarrow \frac{s+2}{s+10} \approx 1 \Rightarrow H(s) = \frac{10^6}{s^2 + 10^2 s + 10^4}$$

$$|H(j\omega_h)| = \frac{H_0}{\sqrt{2}} \Rightarrow \omega_h = 1.27 \times 10^2 \text{ rad/s}$$

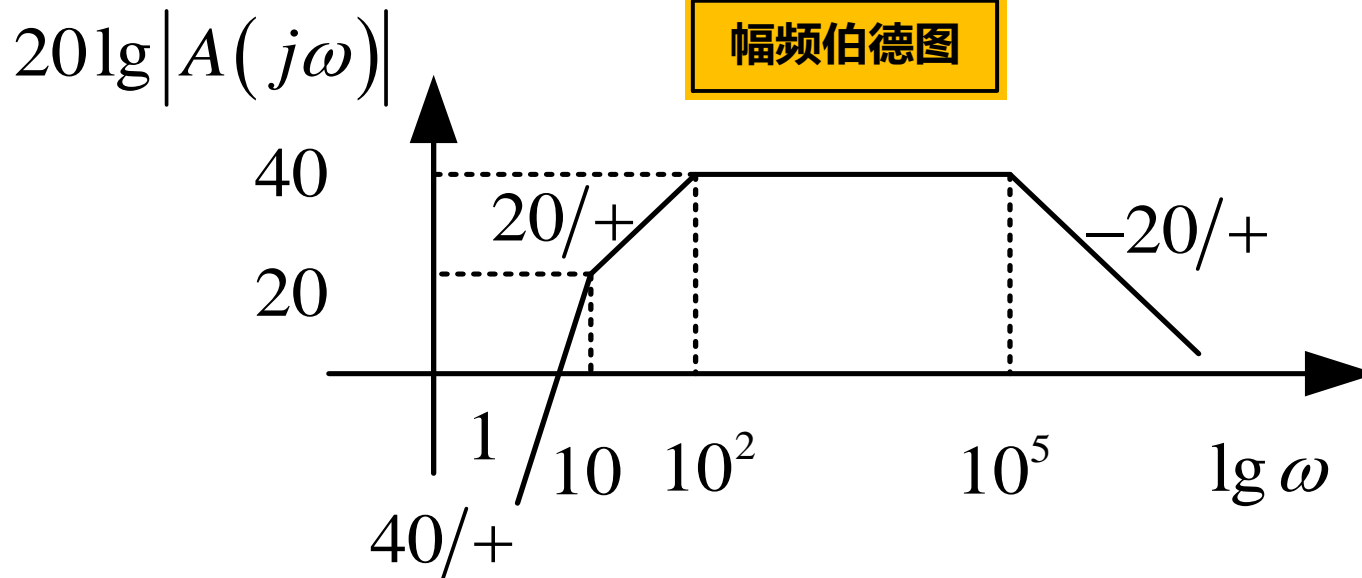
➡ 3dB上限截止频率 ω_h 与转折频率 ω_n 并不相同!





例3：根据系统伯德图求传递函数

已知某放大器传递函数的幅频响应伯德图，试写出其传递函数表达式。



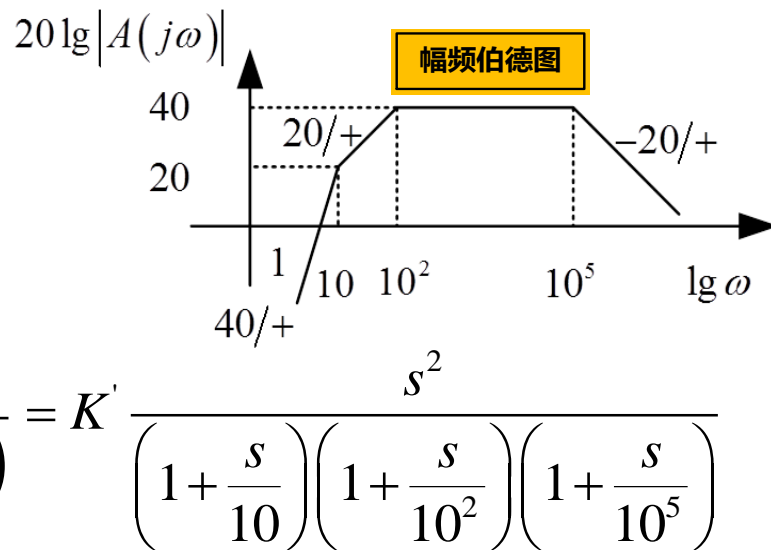


例3：根据系统伯德图求传递函数

解：分析可知，该系统含有

1个二阶零点：0

3个负实极点：-10， -100， -10⁵。



$$A(s) = K \frac{s^2}{(s+10)(s+10^2)(s+10^5)} = K' \frac{s^2}{\left(1+\frac{s}{10}\right)\left(1+\frac{s}{10^2}\right)\left(1+\frac{s}{10^5}\right)}$$

求K'：

$$H_0 \Big|_{\omega=10^2} = 20\lg|K'| + 40\lg\frac{10^2}{1} - 20\lg\frac{10^2}{10} = 20\lg|K'| + 80 - 20 = 40\text{dB} \Rightarrow K' = \pm\frac{1}{10}$$

求K：

$$\text{取 } 10^2 \ll s_0 \ll 10^5 \quad A(s) = K \frac{s^2}{(s+10)(s+10^2)(s+10^5)} \approx K \frac{s^2}{(s)(s)(10^5)} = \frac{K}{10^5}$$

$$20\lg|A(s_0)| = 20\lg\frac{|K|}{10^5} = 40$$

$$K = \pm 10^7 \Rightarrow A(s) = \frac{\pm 10^7 \cdot s^2}{(s+10)(s+10^2)(s+10^5)}$$





1.2.3 阶跃响应

■ 阶跃响应：时域 \Rightarrow 非稳态变化特性

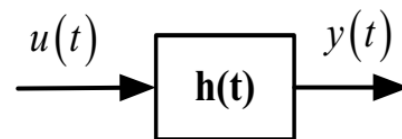
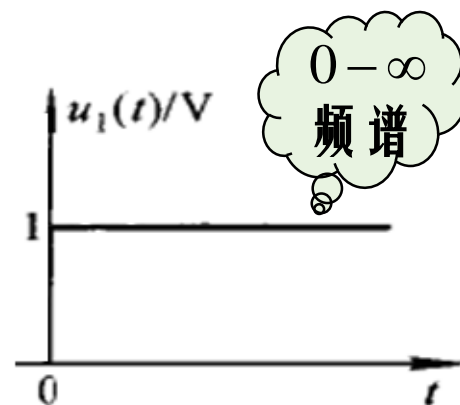
$$u(t) \xleftrightarrow{L} F(s) = \frac{1}{s}$$

■ 关注：瞬态时域波形响应？

$$Y(s) = H(s) \cdot \frac{1}{s} \quad \Rightarrow \quad y(t) = L^{-1} \left\{ H(s) \cdot \frac{1}{s} \right\}$$

$$= L^{-1} \left\{ K \frac{\prod_{i=1}^m (s - z_i)}{\prod_{j=1}^n (s - p_j)} \cdot \frac{1}{s} \right\} = L^{-1} \left\{ \sum_{j=1}^n \frac{K_j}{s - p_j} + \frac{K_0}{s} \right\} = \sum_{j=1}^n K_j e^{p_j t} + K_0 u(t)$$

$t \rightarrow \infty$, 第一项趋于0. 稳态响应为 K_0





(2) 单极点低通系统的阶跃响应

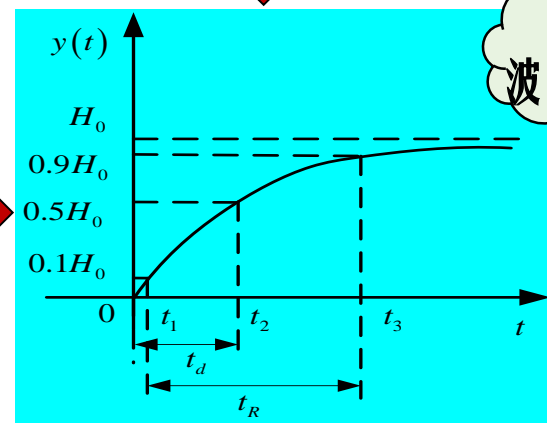
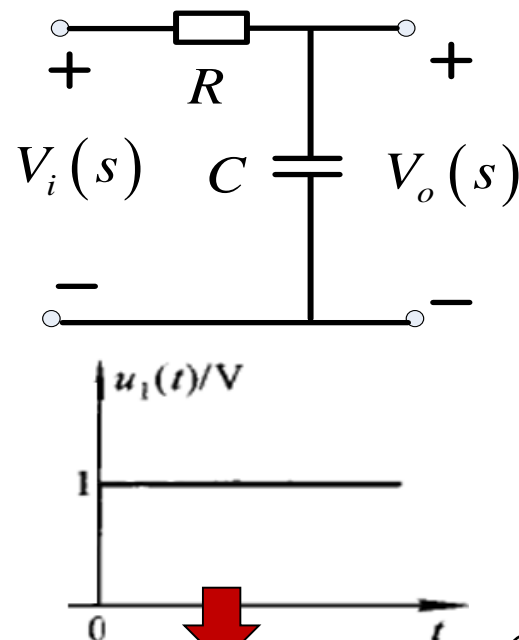
■ 系统传递函数：

$$H(s) = H_0 \frac{\omega_h}{s + \omega_h} \quad \omega_h = \frac{1}{RC}$$

$$y(t) = L^{-1} \left\{ H(s) \cdot \frac{1}{s} \right\} = L^{-1} \left\{ H_0 \frac{\omega_h}{s + \omega_h} \cdot \frac{1}{s} \right\}$$
$$= L^{-1} \left\{ \frac{K_0}{s + \omega_h} + \frac{K_1}{s} \right\}$$

$$\begin{cases} K_0 = -H_0 \\ K_1 = H_0 \end{cases} \Rightarrow y(t) = H_0 (1 - e^{-\omega_h t})$$

瞬态
响应

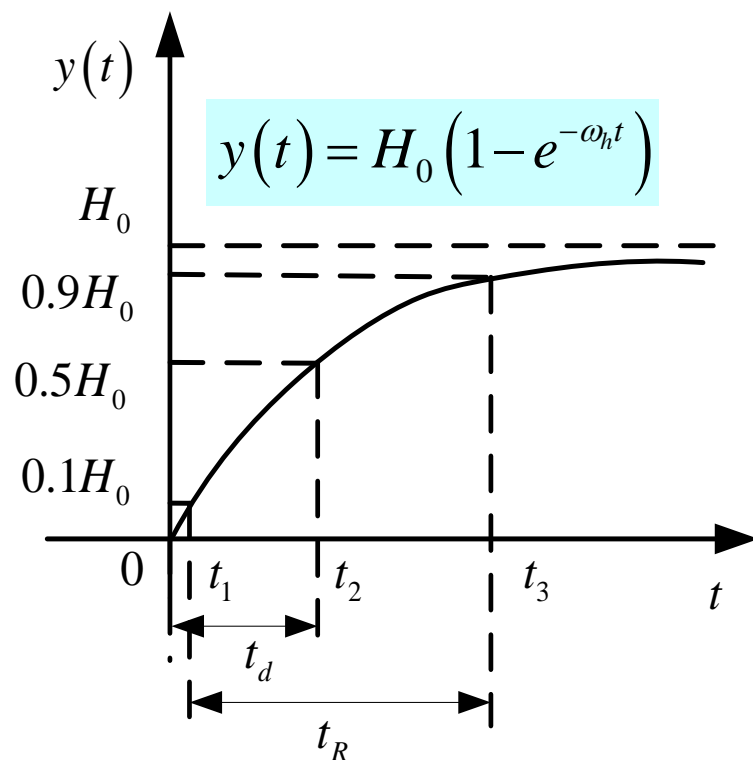


时域
波形失真





(2) 阶跃响应的参数-1



上升时间 t_R : 幅值从 $0.1H_0$ 上升至 $0.9H_0$ 所需的时间;

延迟时间 t_d : 幅值从 0 上升至 $0.5H_0$ 所需的时间;

$$t_R = t_3 - t_1 = \frac{2.2}{\omega_h} \quad t_d = t_2 - t_0 = \frac{0.69}{\omega_h}$$
$$\Rightarrow \omega_h \rightarrow \infty, \quad t_R \rightarrow 0; \quad t_d \rightarrow 0$$

问题与思考

特点? 时域瞬态与电路的频响参数什么关系?

1. 上升时间快慢反映系统高频特性;
2. ω_h 越高, B 越宽, 高增益频谱成分通过越多, 阶跃上升越快;



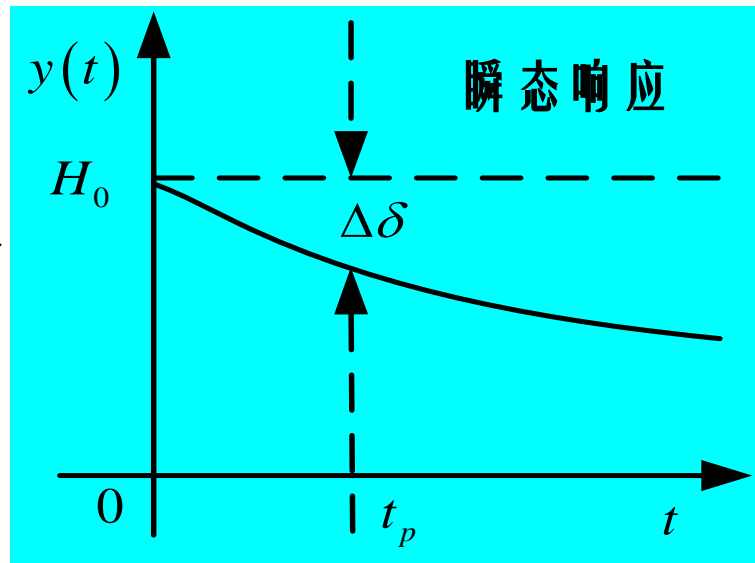
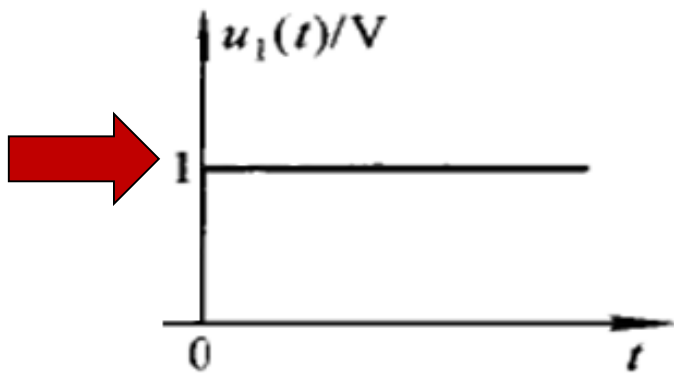
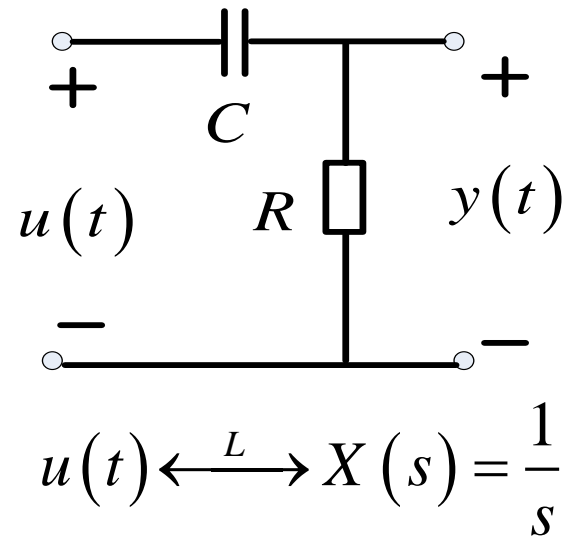


(3) 单极点高通系统的阶跃响应

$$H(s) = H_0 \frac{s}{s + \omega_l} \quad \omega_l = \frac{1}{RC}$$

$$y(t) = L^{-1} \left\{ H(s) \cdot \frac{1}{s} \right\} = L^{-1} \left\{ H_0 \frac{1}{s + \omega_l} \right\}$$

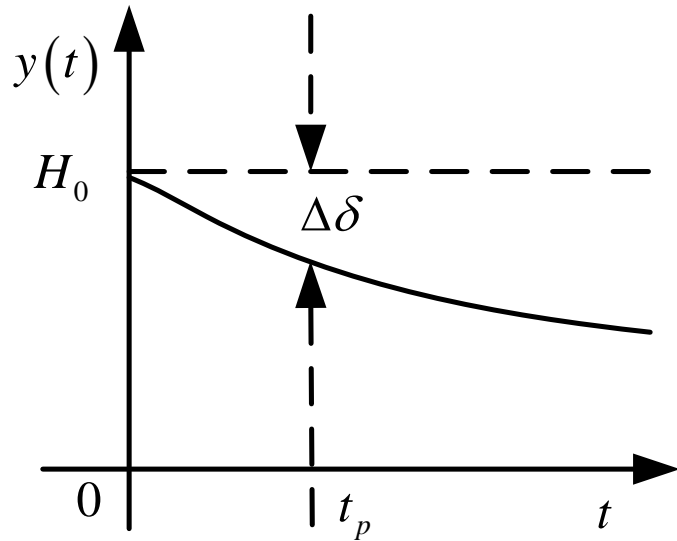
$$\Rightarrow y(t) = H_0 e^{-\omega_l t}$$





(3) 高通系统的阶跃响应参数-2

■ **斜降** δ_p : 即 t_p 时刻的衰减量与 H_0 的比值: $\delta_p \Big|_{t_p} = \frac{\Delta\delta}{H_0} \Big|_{t_p}$



$$\begin{aligned}\delta_p \Big|_{t_p} &= \frac{\Delta\delta}{H_0} \Big|_{t_p} = \frac{H_0 - H_0 e^{-\omega_l t_p}}{H_0} \\ &= 1 - e^{-\omega_l t_p} \approx \omega_l t_p, \quad t_p \ll 1/\omega_l \\ &\Rightarrow \omega_l \rightarrow 0, \quad \delta_p \rightarrow 0\end{aligned}$$

■ **特点-1:** 高通系统高频特性好 (∞) , 上升沿不需要时间;

■ **特点-2:** 缓变斜降特性取决于低频特性 ω_l : $\omega_l \neq 0$, 响应随时间逐渐下降, 稳态时趋于0; $\omega_l = 0$, 维持 H_0 !





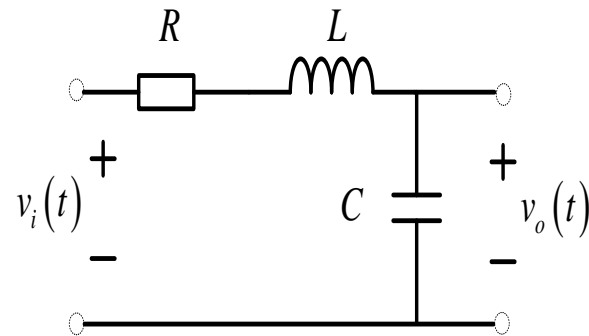
(4) 二阶低通系统的阶跃响应

■ 二阶低通系统：

$$H(s) = \frac{\frac{1}{SC}}{R + SL + \frac{1}{SC}} = \frac{1}{1 + SRC + S^2LC} = \frac{\omega_n^2}{s^2 + 2\xi\omega_n s + \omega_n^2}$$

$$\text{其中, } \omega_n = \frac{1}{\sqrt{LC}}, \quad \xi = \frac{R}{2} \sqrt{\frac{L}{C}}$$

$$\text{极点: } p_1, p_2 = -\xi\omega_n \pm \omega_n \sqrt{\xi^2 - 1}$$



➡ $\xi \geq 1$, p_1, p_2 两负实极点，阶跃响应与单极点低通电路类似；
上升时间与 ω_n 有关！

➡ 若 $\xi < 1$, p_1, p_2 一对复共轭极点，系统为共轭极点对低通系统。

➡ $H(s) = \frac{\omega_n^2}{(S + \xi\omega_n - j\omega_d)(S + \xi\omega_n + j\omega_d)}$ 阻尼自然频率 $\omega_d = \omega_n \sqrt{1 - \xi^2}$





(4) 二阶低通系统阶跃响应参数-3

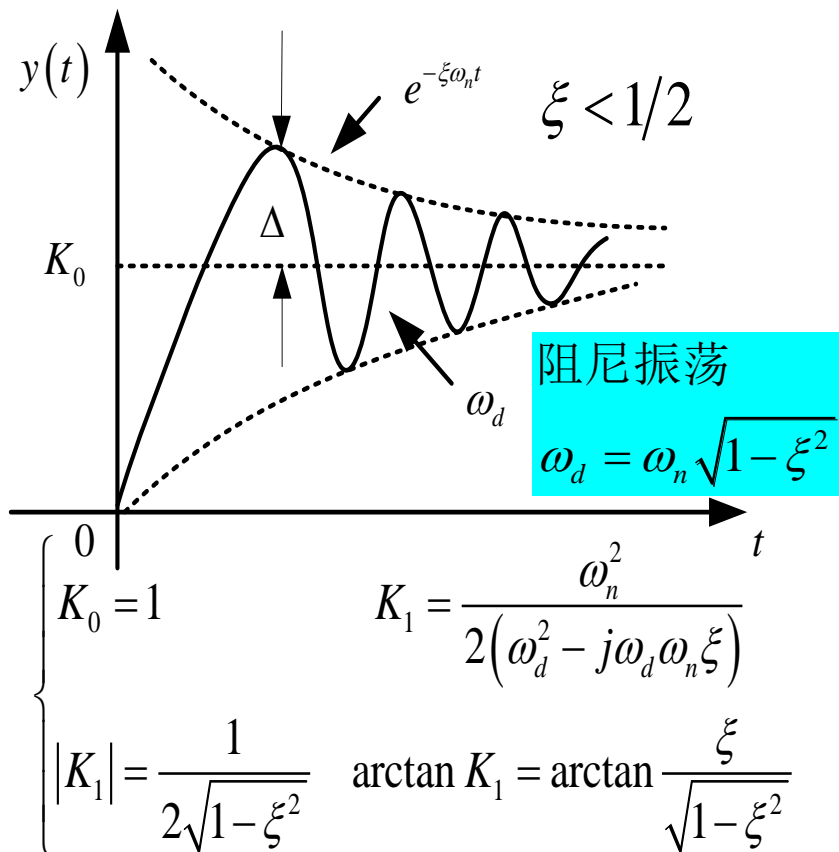
■ 对应的阶跃响应：

$$y(t) = L^{-1} \left\{ H(s) \frac{1}{s} \right\}$$

$$y(t) = L^{-1} \left\{ \frac{\omega_n^2}{(S + \xi\omega_n - j\omega_d)(S + \xi\omega_n + j\omega_d)} \frac{1}{s} \right\}$$

$$= L^{-1} \left\{ \frac{K_0}{S} + \frac{K_1}{S + \xi\omega_n - j\omega_d} + \frac{\bar{K}_1}{S + \xi\omega_n + j\omega_d} \right\}$$

$$= K_0 - 2|K_1|e^{-\xi\omega_n t} \cos(\omega_d t + \arctan K_1)$$

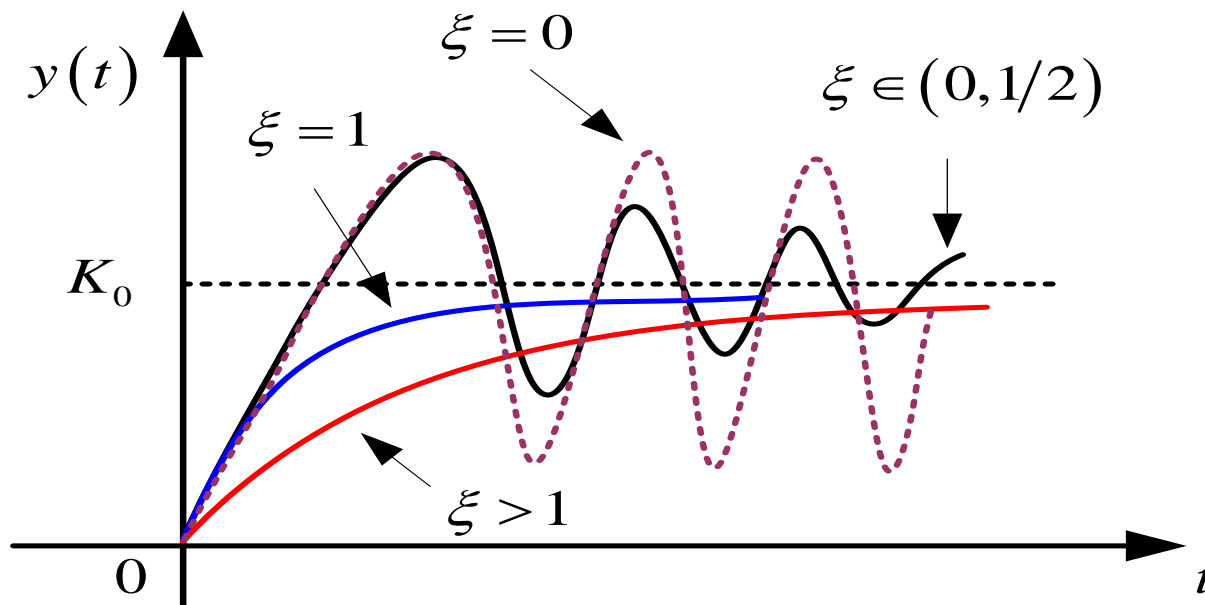


■ 幅值衰减的正弦振荡，振荡频率为 ω_d ，其包络线为 $e^{-\xi\omega_n t}$

■ 超量上冲 Δ ： $\xi < 1/2$ ， $\alpha > 60$ 度，第一峰值明显大于稳态值；



(4) 二阶低通系统的阶跃响应



■ 上冲与阻尼振荡由系统共轭阻尼参数 (ω_n, ξ) 决定；

■ 阻尼系数 ξ 越小，起始幅度越大，阶跃响应上升越快，即上升时间越短。





(4) 阶跃响应与频率响应对比

- 阶跃响应和频率响应是反映同一系统在不同激励下系统特性：
 - 频率响应考察系统的频率特性；
 - 阶跃响应考察系统的时域波形特征，
- 对同一系统而言，阶跃响应参数与频率响应参数之间有一定的**关联性**，即阶跃响应可一定程度反映系统的频率特性；
- 阶跃响应关注的是系统的暂态响应，而频率响应关注的是系统的稳态响应，故一般通过分析系统的频率响应来获得系统的频率特性。





本章小结

